

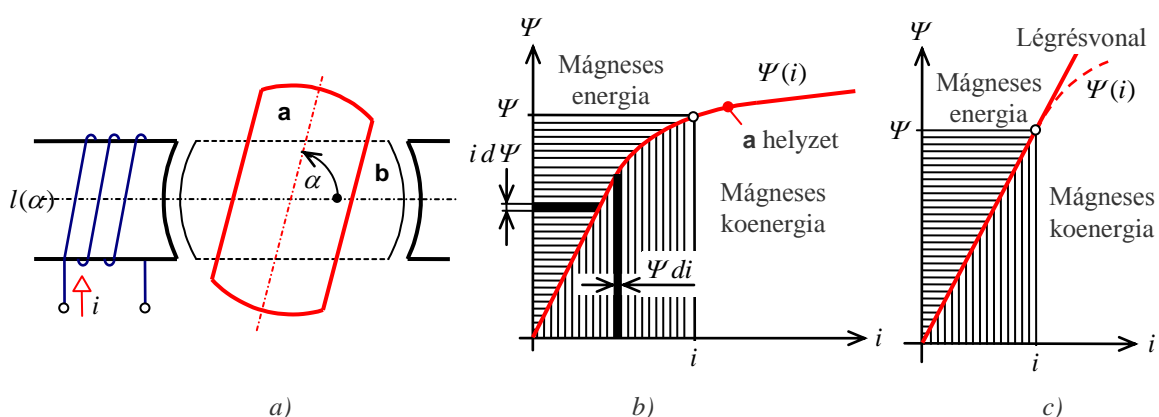
7. A VILLAMOS GÉPEK ELMÉLETÉNEK ÚJABB TÁRGYALÁSI MÓDSZEREI

7.1. A VILLAMOS GÉPEK NYOMATÉKA AZ ENERGIASZEMLÉLET ALAPJÁN

7.1.1. Energiaviszonyok, a nyomatékszámítás alapképletei

A villamos gépek elektromechanikai energiaátalakítók, nyomatékuk a mágneses tér állapotának megváltozásával függ össze. A nyomaték meghatározása érdekében megvizsgáljuk az egy- és kétkerceses gép energiaviszonyait. Vizsgálatunk forrásként [6]-ot használja fel, amely ezt a kérdést részletesebben tárgyalja.

A 7.1a ábrán felrajzolt egytekercses (állórészoldalról gerjesztett) gép esetén a 7.1b ábra a forgórész **a** helyzetében mutatja a tekercs valóságos Ψ fluxuskapcsolódását az i áram függvényében. Mint látjuk, a jelleggörbe a vasmagos részek telítődése miatt még a hiszterézis-jelenséget és az örvényáramokat elhanyagolva sem lineáris.



7.1. ábra Az egyoldalról gerjesztett gépmodell
 a) felépítés; b) mágneses energiák; c) linearizált eset

A gépben felhalmozott, az állórésztekercs i áramához tartozó *mágneses energia* ebben az **a** forgórész helyzetben:

$$W_t = \int_0^{\Psi} i d\Psi, \quad (7.1)$$

amely a mágnesezési görbe feletti vízszintesen vonalkázott területtel egyenlő.

A mágnesezési görbe alatti

$$W_t' = \int_0^i \Psi di \quad (7.2)$$

függőlegesen vonalkázott terület pedig definíciószerűen a *mágneses koenergia*.

Nemlineáris esetben a szokásosan egy-, ill. kétkerces villamos gépek mágneses energiáinak számítása nagyon bonyolult. Segíti az áttekinthetőséget és a nyomatékképzés megértését az elméleti közelítésekben gyakran alkalmazott módszer, a telítés elhanyagolása, a $\Psi(i)$ mágnesezési jelleggörbe légrésvonallal közelítése (7.1c ábra, a *linearizálás*). Egytekercses gép esetén a tekercsben tárolt mágneses energia ill. a koenergia a vízszintesen, ill. a függőlegesen vonalkázott derékszögű háromszögek területével arányos, és ebből következően egymással egyenlő:

$$W_t = \frac{1}{2} \cdot i \cdot \Psi = \frac{1}{2} \cdot l_a \cdot i^2 = W_t', \quad (7.3)$$

ahol l_a az állórésztekercsnek a forgórész a helyzetéhez tartozó öninduktivitása (emlékeztetőül: $\Psi = l \cdot i$). Ennek felhasználásával a tekercsben tárolt mágneses energiának-, és a koenergiának az összege állandó és éppen $(\Psi \cdot i)$ -vel egyenlő.

Miközben az elektromechanikai átalakító forgórésze a 7.1a ábra szerinti **a** helyzetből a **b** helyzetbe mozog, érvényesülnie kell az energiamegmaradás törvényének. Elektromechanikai átalakítókban az energia négy fajtája lehetséges:

Villamos energia felvétele a tápforrásból	=	Mechanikai energia leadás	+	A tekercsben tárolt energia növekedése	+	Hővé alakuló energia	=	(7.4)
---	---	---------------------------------	---	--	---	----------------------------	---	-------

Ha a gépet első közelítésben veszteségmentesnek (ideálisnak) tekintjük, vagyis a hővé alakuló- (tekercsben-, vasmagban keletkező, a súrlódási- és ventilációs-, valamint a rezgésekből adódó) veszteségeket elhanyagoljuk, (7.4) a következőképpen egyszerűsödik:

Villamos energia felvétele a tápforrásból	=	Mechanikai energia leadás	+	A tekercsben tárolt energia növekedése	=	(7.5)
---	---	---------------------------------	---	--	---	-------

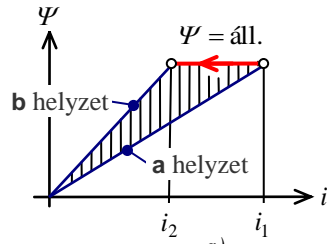
A (7.5) összefüggés természetesen kis változásokra is igaz:

$$dW_v = dW_m + dW_t, \quad (7.6)$$

vagyis a betáplált villamos energia mechanikai munkára és a tekercs mágneses energiájának megváltoztatására fordítódik.

✚ Vizsgáljuk először azt a linearizált esetet, amikor a forgórész a 7.1a ábra szerinti **a** forgórészhelyzetből a **b** helyzetbe ugrik, eközben a fluxusállandóság elve alapján a tekercssel kapcsolódó Ψ fluxuskapcsolódás állandó értékű (7.2a ábra).

A dt idő alatt a hálózathoz felvett villamos energia:



$$dW_v = u_i \cdot i \cdot dt = \left(\frac{d\Psi}{dt} \right) \cdot i \cdot dt = i \cdot d\Psi = 0. \quad (7.7)$$

A villamos hálózathoz felvett energia $dW_v=0$, mert $d\Psi=0$. A mechanikai energia megváltozása ekkor:

$$dW_m = m \cdot d\alpha, \quad (7.8)$$

ahol m a nyomaték pillanatértéke és $d\alpha$ az elemi elfordulási szög. Ezekkel (7.6) alapján írható:

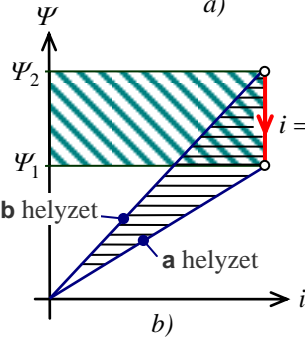
$$dW_m = m \cdot d\alpha = -dW_t. \quad (7.9)$$

Az (7.9) összefüggésből a nyomatékot kifejezve:

$$m = - \left(\frac{dW_t}{d\alpha} \right)_{\Psi=\text{áll.}}. \quad (7.10)$$

7.2. ábra Energiaváltozások

a) a Ψ fluxuskapcsolódás állandó;
b) az i áram állandó



Állandó fluxusú változáskor a tekercs koenergiája a függőleges vonalkázással jelölt mértékben nő, tárolt mágneses energiája pedig csökken. Ilyen esetben a tekercs a hálózathoz nem vesz fel energiát, a tekercs mágneses energiájának csökkenése a mechanikai energia növelésére fordítódik (nyomaték keletkezik).

Mivel egy adott pontban tekercsben tárolt mágneses energia és a koenergia összege a $(\Psi \cdot i)$ állandó, állandó áram melletti változáskor (a 7.2b ábrán felrajzolt áramkényszer alkalmazása esetén) a koenergia megváltozása:

$$W_t' = \Psi \cdot i - W_t. \quad (7.11)$$

A differenciákat képezve a koenergia megváltozása:

$$dW_t' = \Psi \cdot di + i \cdot d\Psi - dW_t. \quad (7.12)$$

(7.6)-ból behelyettesítve a tárolt mágneses energia megváltozásának $dW_t = dW_v - dW_m$ értékét:

$$dW_t' = \Psi \cdot di + i \cdot d\Psi - dW_v + dW_m. \quad (7.13)$$

Mivel a hálózathoz felvett villamos energia az (7.7) összefüggés szerint $dW_v = i \cdot d\Psi$, (7.13) az összevonások után:

$$dW_t' = \Psi \cdot di + m \cdot d\alpha, \quad (7.14)$$

amiből $i = \text{áll.}$ feltételnél $di=0$, és így a nyomaték:

$$m = \left(\frac{dW_t'}{d\alpha} \right)_{i=\text{áll.}}. \quad (7.15)$$

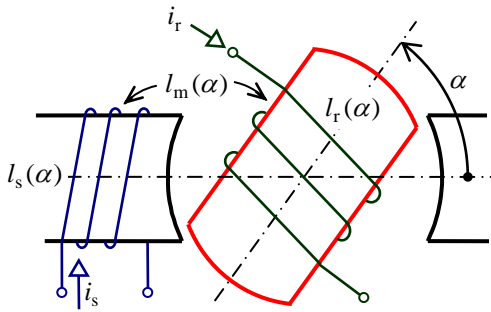
Az előzőleg tárgyalt áramkényszernél a tekercs által a tápforrásból felvett villamos energia (a 7.2b ábrán a ferdén vonalkázott terület) egyrészt mechanikai munkára fordítódik (nyomaték képződik), másrészt a vízszintesen vonalkázott területnek megfelelő mértékben megnövekszik a tekercsben tárolt mágneses energia.

Amennyiben a változás mértékét megfelelő mértékben csökkentjük (7.10) és (7.15) egymásba megy át, és így a nyomaték akár a tekercsben tárolt mágneses energia megváltozásából, akár a mágneses koenergiából számítható:

$$m = \left(\frac{dW_t'}{d\alpha} \right)_{i=\text{áll.}} = - \left(\frac{dW_t}{d\alpha} \right)_{\Psi=\text{áll.}} \quad (7.16)$$

A (7.16) összefüggések segítségével határozzuk meg most a 7.1a ábrán felrajzolt egy-tekercses, állórészoldalról táplált gép nyomatékát. Mivel linearizált esetben a mágneses energia és a koenergia (7.3)-ból $W_t = \frac{1}{2} \cdot i \cdot \Psi = \frac{1}{2} \cdot l \cdot i^2 = W_t'$, a nyomaték pillanatértéke:

$$m(t, \alpha) = \frac{1}{2} \cdot i \cdot \left(\frac{d\Psi}{d\alpha} \right)_{i=\text{áll.}} = - \frac{1}{2} \cdot \Psi \cdot \left(\frac{di}{d\alpha} \right)_{\Psi=\text{áll.}} = \frac{1}{2} \cdot i^2(t) \cdot \frac{dl(\alpha)}{d\alpha}. \quad (7.17)$$



7.3. ábra A kéttekercses gép ön- és kölcsönös induktivitásai

(7.17) jól használható pl. a csak egyoldalról gerjesztett kapcsolt reluktancia motorok (SRM) nyomatékának számításánál.

Az (7.16) összefüggések kéttekercses gépeknél (7.3. ábra) is alkalmazhatók. Linearizált esetben az állórészen és a forgórészen is egy-egy tekercsrel rendelkező gépnél $l_s(\alpha)$ állórész-, $l_r(\alpha)$ forgórész- és $l_m(\alpha) = l_{rs}(\alpha) = l_{sr}(\alpha)$ kölcsönös induktivitásokat feltételezve a mágneses energiák:

$$W_t = \frac{1}{2} \cdot l_s(\alpha) \cdot i_s^2 + l_m(\alpha) \cdot i_s \cdot i_r + \frac{1}{2} \cdot l_r(\alpha) \cdot i_r^2 = W_t'. \quad (7.18)$$

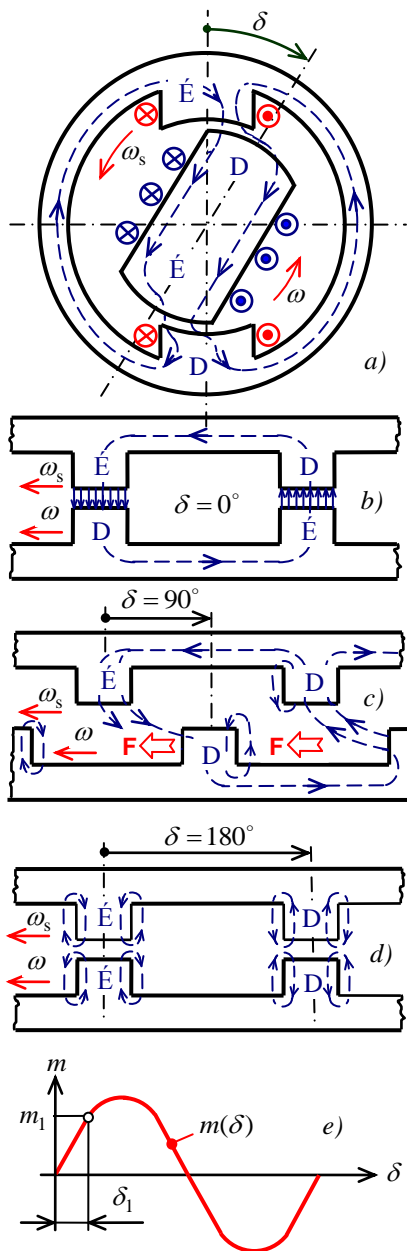
(7.18)-at (7.16)-ba helyettesítve a kéttekercses linearizált gép nyomatékának pillanatértéke:

$$m(t, \alpha) = \left(\frac{dW_t'}{d\alpha} \right)_{i=\text{áll.}} = \frac{1}{2} \cdot i_s^2(t) \cdot \frac{dl_s(\alpha)}{d\alpha} + i_s(t) \cdot i_r(t) \cdot \frac{dl_m(\alpha)}{d\alpha} + \frac{1}{2} \cdot i_r^2(t) \cdot \frac{dl_r(\alpha)}{d\alpha}. \quad (7.19)$$

A nyomaték pillanatértékére kapott (7.16) összefüggés a levezetésénél alkalmazott korlátozásokkal általános érvényű. A következőkben azt vizsgáljuk, hogy ennek a nyomatéknak mikor van a zérustól eltérő középértéke, vagyis mikor jöhet létre és mekkora a nyomaték átlagos értéke.

7.1.2. A frekvenciafeltétel

Minden villamos gép állandósult nyomatékának feltétele két kölcsönhatásban lévő, összetapadt, azonos pólusszámú pólusrendszer. Az egyes gépfajták csak abban különböznek egymástól, hogy milyen módszerrel hozzuk létre ezt az összetapadt pólusrendszert, és hogy ezek az állórészhez, ill. a forgórészhez képest mozgásban, vagy nyugalomban vannak-e.



7.4. ábra A mágneses erővonalak és a tangenciális erők képződése összetapadt pólusrendszerek esetén

- a) A terhelési szög motoros üzemben;
- b) terheletlen állapot ($\delta = 0^\circ$, $m = 0$);
- c) a terhelési szög $\delta = 90^\circ$, $m = m_{\max}$;
- d) a terhelési szög $\delta = 180^\circ$, $m = 0$;
- e) a nyomaték (tangenciális erő) változása a terhelési szög függvényében;

A 7.4. ábrán feltételeztük, hogy az állórészen és a forgórészen elhelyezett, külön-külön gerjesztett mágnesrendszereket ω_s és ω szögsebességekkel forgatjuk, miközben előjelhelyesen mérjük a forgatáshoz szükséges nyomatékigényt. A 7.4a ábrán felrajzolt kétpólusú gépnél azt a pillanatot rajzoltuk fel, amikor forgásirányban a forgórész δ terhelési szöggel lemaradt az állórészhez képest. A 7.4b...7.4d ábrákon a mozgatótt pólusrendszereket a síkba kiterítettük.

Az ábrákba berajzoltuk a mágneses erővonalakat. Az erővonalakat rugalmas gumiszálaknak képzelhetjük, amelyek alaphelyzetben vannak amikor a forgórész déli pólusa az állórész északi pólusa alatt helyezkedik el (7.4b ábra), ekkor az állórész és a forgórész mágneses tengelyei között mért szög $\delta = 0$. A terhelést növelve (a forgórészt azonos szögsebességgel, de δ szög lemaradással forgatva) a gumiszálak megnyúlnak (tangenciális erők lépnek fel), a forgógép nyomatékot ad le. A tangenciális erők maximális értékűek $\delta = 90^\circ$ -os szögnél (7.4c ábra).

A szöget tovább növelve az ellentétes mágneses polaritású pólushoz kapcsolódó erővonalak fokozatosan „elszakadnak”, a nyomaték csökken. Zérus lesz a nyomaték $\delta = 180^\circ$ -os szögnél, amikor az azonos polaritású mágneses pólusok kerülnek egymás alá (7.4d ábra).

A szöget még tovább növelve a tangenciális erők $\delta = 180^\circ \dots 360^\circ$ között ellentétes irányúak. A tangenciális erők változását a két pólusrendszer közötti δ szög függvényében mutatja a 7.4e ábra.

Az ábrából több következtetést is levonhatunk: egyrészt zérus lesz a tangenciális erővel arányos nyomaték középértéke (vagyis *pulzáló nyomaték* keletkezik), ha a forgórész körbefordul az állórész pólusrendszeréhez képest, másrészt akkor lesz állandósult nyomatékunk, ha az

azonos sebességgel forgó pólusrendszerek mágneses tengelye között van egy δ szögeltérés.

A továbbiakban a 7.5. ábrán felrajzolt, mindkét oldalon hengeres felépítésű, egy-egy fázistekercssel rendelkező gépet vizsgálunk. A vastestek hengeres kialakítása miatt a tekercsek a kerület menti körbefordulás közben végig azonos mágneses ellenállást „látnak”, ezért az $l_s(\alpha) = L_s = \text{áll.}$ és $l_r(\alpha) = L_r = \text{áll.}$ A nyomaték (7.19) kifejezéséből így csak a középső tag marad meg:

$$m(t, \alpha) = i_s(t) \cdot i_r(t) \cdot \frac{dl_m(\alpha)}{d\alpha}. \quad (7.20)$$

Folyjék az állórész tekercselésben $i_s(t) = I_s \cdot \sin \omega_v t$ áram, a forgórész tekercselésben $i_r(t) = I_r \cdot \sin \omega_{vr} t$ áram és a forgórész szögelfordulása történjen az

$$\alpha_v(t) = p \cdot (\omega t + \delta) = \omega_v t + \delta_v \quad (7.21)$$

időfüggvény szerint. (Emlékeztetőül: v index-el jelöljük a villamos szögsebességeket.)

Ha a δ_v szöget a 7.5. ábrán látható módon mérjük, az állórész- és forgórész tekercsek közötti kölcsönös inductivitások az α_v villamos szögelfordulás ($p \geq 1$ esetén $\alpha_v = p \cdot \alpha_g$) koszinusz függvénye szerint változnak:

$$l_m(\alpha) = l_{rs}(\alpha) = l_{sr}(\alpha) = L_{rs} \cdot \cos \alpha_v. \quad (7.22)$$

A fluxuskapcsolódás és így a mágneses vezetőképesség a 7.5. ábra szerint $\delta_v = 0^\circ$ -nál a legnagyobb, az ehhez a helyzethez tartozó kölcsönös inductivitás L_{rs} értékű. A kölcsönös inductitás $\delta_v = 90^\circ$ -nál zérus. (7.21) felhasználásával (7.20)-ból a nyomaték:

$$m(\alpha_v) = -I_s \cdot I_r \cdot L_{rs} \cdot \sin \omega_{vs} t \cdot \sin \omega_{vr} t \cdot \sin(\omega_v t + \delta_v). \quad (7.23)$$

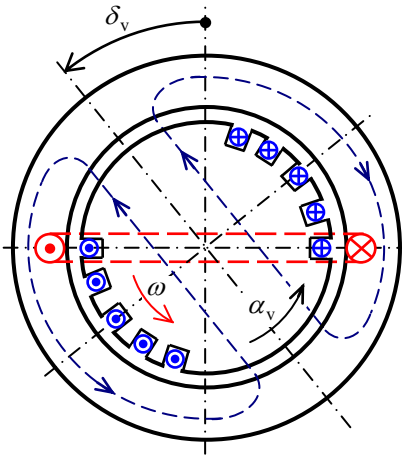
Ebből a nyomaték az ismert szögfüggvény átalakítások felhasználásával az

$$m(t, \alpha) = \frac{I_s \cdot I_r \cdot L_{rs}}{4} \cdot \left\{ \begin{aligned} &\sin[(\omega_v + \omega_{vs} - \omega_{vr})t + \delta] + \sin[(\omega_v - \omega_{vs} + \omega_{vr})t + \delta_v] \\ &- \sin[(\omega_v + \omega_{vs} + \omega_{vr})t + \delta] - \sin[(\omega_v - \omega_{vs} - \omega_{vr})t + \delta_v] \end{aligned} \right\}. \quad (7.24)$$

alakba írható. Átlagos (zérustól eltérő, *nem pulzáló*) nyomatékot akkor kapunk, ha t valamelyik együtthatója zérus. Ez akkor teljesül, ha az

$$\omega_v = \pm \omega_{vs} \pm \omega_{vr}, \quad \text{és} \quad \sin \delta_v \neq 0 \quad (7.25)$$

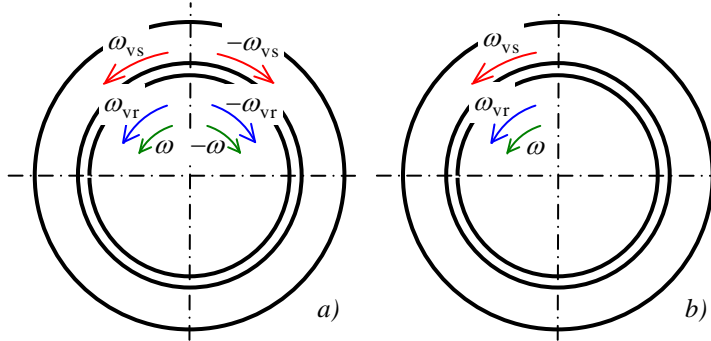
egyenletben megfogalmazott ún. *frekvenciafeltételek* legalább egyike megvalósul. Ez nem zárja ki, hogy az állandó nyomatékot létrehozó komponensen kívül valamelyik másik is létrehozzon nyomatékot. Ez utóbbi(ak) azonban zérus középértékű, pulzáló nyomaték(ok) lesz(nek), amely(ek)nek a jelenléte a gép üzeme szempontjából nem kívánatos.



$l_s(\alpha) = L_s = \text{áll.}$ $l_r(\alpha) = L_r = \text{áll.}$

7.5. ábra A hengeres álló- és forgórészű gép öninduktívásai

A 7.6a ábrán felrajzoltuk a lehetséges eseteket. Ezek a *Ferraris* tételből közvetlenül is következnek. A Ferraris-tétel ugyanis kimondja, hogy bármelyik lüktető mező (márpedig



7.6. ábra Az álló és a forgórész vele- és ellene forgó mezői

a) lüktető mező esetén; b) forgómező esetén

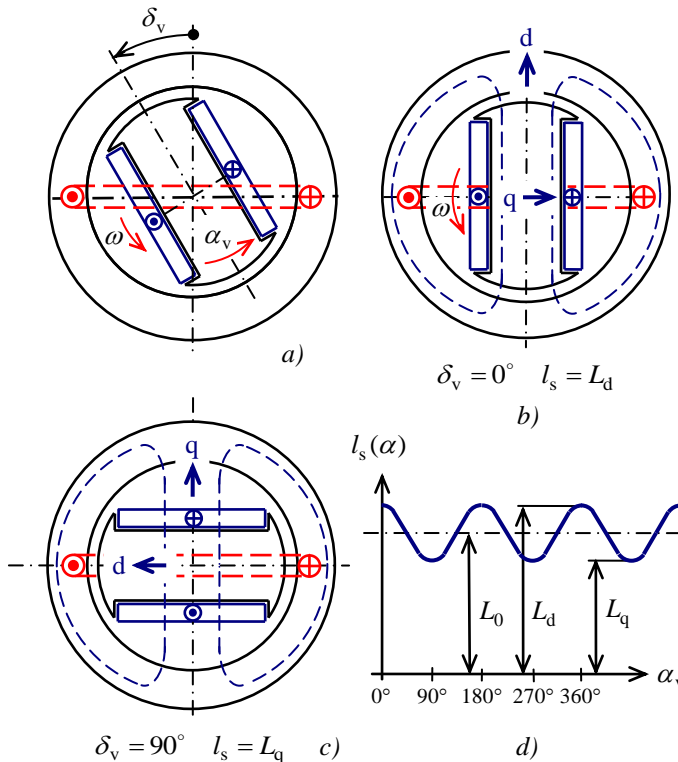
mind az állórész-, mind a forgórész tekercsben folyó szinuszos áram lüktető mezőt hoz létre) felbontható két fele akkora amplitúdójú, egymással szembeforgó mezőre. A többfázisú (a gyakorlatban két- és háromfázisú) rendszerek alkalmazása azért célszerű, mert ezek bizonyos feltételek teljesülése esetén nem lüktető, hanem for-

gómezőt hoznak létre. Ekkor a (7.24)-ben megfogalmazott négy feltétel közül mindig csak egy fog teljesülni. Például a

$$\omega_v = +\omega_{vs} - \omega_{vr}, \text{ és } \sin\delta_v \neq 0 \quad (7.26)$$

feltétel teljesülése esetén (7.6b ábra) nem keletkeznek pulzáló nyomatékok. A (7.25)-ben megfogalmazott többi feltétel ekkor fázissorrend-cserével lehetőséget nyújt a gép forgásirányának megváltoztatására. A (7.26) frekvenciafeltétel kielégítése esetén az állandósult nyomaték az

$$M = -L_{ts} \cdot I_s \cdot I_r \cdot \sin\delta_v = M_{Bh} \cdot \sin\delta_v = c_M \cdot (\bar{\mathbf{i}}_s \times \bar{\mathbf{i}}_r) \quad (7.27)$$



7.7. ábra Kiálló pólusú gép öninduktívitásának változása

a) kiálló pólusú forgórész; b) az állórész induktívitás hosszirányban
c) az állórész induktívitás keresztirányban d) az állórész induktívitás változása az elfordulás függvényében

összefüggés szerint arányos az állórész- és a forgórész árammal, valamint a közöttük lévő szög szinuszával. $\{\bar{\mathbf{i}}_r$ -t és $\bar{\mathbf{i}}_s$ -t vektoroknak tekintve a nyomaték arányos az $\bar{\mathbf{i}}_s \times \bar{\mathbf{i}}_r$ vektoriális szorzattal, lásd még ezzel kapcsolatban később a (7.69) összefüggést.} Ezt a 7.8a ábrán felrajzolt nyomatékot szokták *hengeres*- ill. *gerjesztési nyomatéknak* is nevezni kiindulva a gép forgó- és állórészének hengeres kialakításából, ill. hogy a képződéséhez a forgórészt is gerjeszteni kell (M_{Bh} az ilyen esetben fellépő legnagyobb nyomaték, az ún. *billenőnyomaték*).

A továbbiakban vizsgáljunk meg még egy nyomatékfajtát! Ehhez tételezzük fel, hogy a 7.1a ábrával összehasonlítva a gép forgórésze nem hengeres, hanem ún. *kiálló*

pólusú (7.7a ábra). Ennek az a jellegzetessége, hogy a forgórész forgása közben az állórészen elhelyezett tekercselés fluxussal kapcsolódó mágneses vezetőképessége az α szögelfordulás közben változó. Legnagyobb a mágneses vezetőképesség és így az L_d induktivitás akkor, amikor az állórész-tekercs tengelye egybeesik a forgórész *hosszirányú* mágneses tengelyével, az ún. *d*-iránnyal (7.7b ábra); legkisebb pedig az erre villamosan merőleges *q* *keresztirányban*, amelyhez L_q (zérustól eltérő) induktivitás tartozik. Az induktivitás változását a szögelfordulás függvényében a 7.7d ábrán rajzoltuk fel. Láthatóan az állórész induktivitás az

$$l_s(\alpha_v) = L_0 + \frac{(L_d - L_q)}{2} \cdot \cos 2\alpha_v \quad (7.28)$$

összefüggés szerint változik. Ekkor (7.19) és (7.21) felhasználásával:

$$m(t, \alpha_v) = i_s(t) \cdot i_r(t) \cdot \frac{dl_m(\alpha_v)}{d\alpha} + \frac{1}{2} i_s^2 \cdot \frac{dl_s(\alpha_v)}{d\alpha}. \quad (7.29)$$

Behelyettesítve az induktivitásokat és elvégezve a differenciálást a pillanatnyi nyomaték:

$$m(t, \alpha_v) = -i_s(t) \cdot i_r \cdot \sin \alpha_v + \frac{1}{2} i_s^2(t) \cdot (L_d - L_q) \cdot \sin 2\alpha_v. \quad (7.30)$$

Folyjék ismét az állórész tekercselésben $i_s(t) = I_s \cdot \sin \omega_{vs} t$ áram, a forgórész tekercselésben $i_r(t) = I_r \cdot \sin \omega_{vr} t$ áram és a forgórész szögelfordulása történjen az $\alpha_v(t) = p \cdot (\omega t + \delta) = \omega_v t + \delta_v$ időfüggvény szerint. Ezekkel az első tagra a (7.25) összefüggésből a már ismert frekvenciafeltételt, és (7.27) kapcsán ismertetett hengeres nyomatékot kapjuk. A második, a mágneses ellenállás változásából származó, és ezért *reluktancia*-nyomatéknak nevezett komponens létrejöttének feltétele:

$$\begin{aligned} m(t, \alpha_v) &= \frac{I_s^2 \cdot (L_d - L_q)}{2} \cdot \sin^2 \omega_{vs} t \cdot \sin(2\omega_v t + 2\delta_v) = \\ &= \frac{I_s^2 \cdot (L_d - L_q)}{8} \cdot \left\{ 2 \cdot \sin(2\omega_v t + 2\delta_v) - \right. \\ &\quad \left. - \sin[2(\omega_v + \omega_{vs})t + 2\delta_v] - \sin[2(\omega_v - \omega_{vs})t + 2\delta_v] \right\}. \end{aligned} \quad (7.31)$$

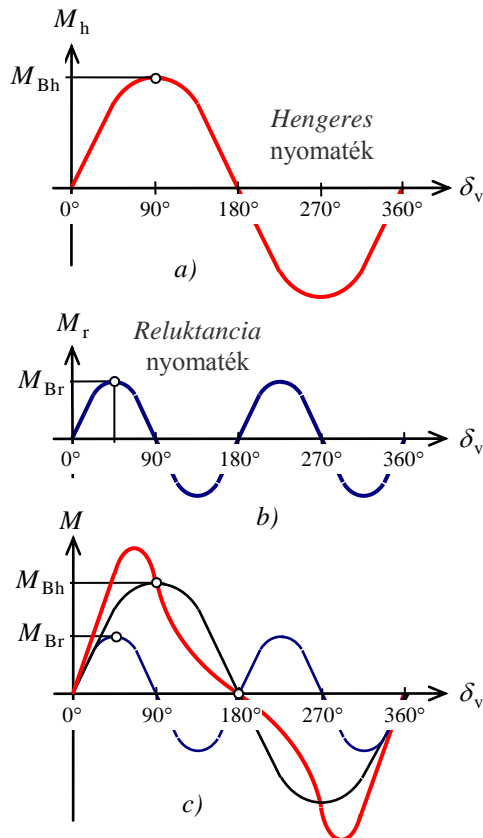
(7.31) első tagja csak $\omega_v = 0$ álló helyzetben nem eredményez pulzáló nyomatékot, a második és harmadik tagja pedig csak ha $\sin 2\delta_v \neq 0$, azaz az

$$\omega_v = \pm \omega_{vs}, \quad (7.32)$$

állórész *szinkron fordulatszámokon*. Ekkor a reluktancia nyomaték értéke:

$$M_r(\delta_v) = I_s^2 \cdot \frac{L_d - L_q}{8} \cdot \sin 2\delta_v = M_{Br} \cdot \sin 2\delta_v, \quad (7.33)$$

ahol M_{Br} a nyomaték maximális értéke. (7.33)-ból látható, hogy a reluktancia nyomaték kialakulásának nem feltétele, hogy a forgórész tekercsben áram folyjon (vagyis a forgórészen nem szükséges gerjesztőtekercset elhelyezni). Feltétel viszont, hogy a mágneses



7.8. ábra A kiálló pólusú gép nyomatékkomponensei

a) a hengeres nyomaték; b) a reluktancia-nyomaték c) az eredő nyomaték

vezetőképesség d és q irányban különbözzék. Ez a nyomaték $\sin 2\delta_v$ szerint változik (7.8b ábra). Az ilyen elven működő gépek a *reluktanciamotorok*.

A hengeres- (7.8a ábra) és a reluktancia (7.8b ábra) nyomatékkomponensek az állórész szinkron fordulatszámán kiálló pólusú, kétoldról gerjesztett gépeknél együtt is felléphetnek (7.8c ábra):

$$M(\delta_v) = M_{Bh} \cdot \sin \delta_v + M_{Br} \cdot \sin 2\delta_v \quad (7.34)$$

A 7.1.2. pont elején már megállapítottuk, hogy minden villamos gép állandósult nyomatékának feltétele két együttforgó mező, két összetapadt, azonos pólusszámú pólusrendszer. Ezt egészíti ki a frekvenciafeltétel, amely azt mondja meg, hogy ez milyen forgórész fordulatszámokon lehetséges. A nyomatéki összefüggésekből látszik továbbá, hogy a nyomaték zérustól eltérő értékéhez az szükséges, hogy a két pólusrendszer mágneses tengelyei között szögeltérés legyen.

Vizsgáljuk meg most, hogy az egyes forgógépek hogyan teljesítik az itt megfogalmazott feltételeket! Vizsgálatunkban induljunk ki a (7.26)-ban megfogalmazott $\omega_v = +\omega_{vs} - \omega_{vr}$ frekvenciafeltételből!

- Gerjesztett szinkron gépek** esetén (amelyek lehetnek hengeres- és kiálló pólusú forgórészűek) a gép forgórészét egyenárammal gerjesztjük, ezért a forgórész mező a forgórész d -tengelyéhez rögzített: $\omega_{vr} = 0$. Ebben az esetben a frekvenciafeltétel egyedül az

$$\omega_v = \omega_0 = \omega_{vs}$$

gerjesztő állórész frekvencia és a póluspárok száma által megszabott *forgórész szinkron szögsebességen* teljesül. Ezért ezt a nyomatéket *szinkron jellegűnek* nevezzük. A forgórész kialakításától függően reluktancia nyomaték is felléphet.

- Reluktancia motoroknál** csak az állórészt gerjesztjük, a forgórész tekercs nélküli. A nyomaték képzéséhez kiálló pólusú (d és q irányban eltérő mágneses ellenállású) forgórész-kialakítás szükséges. Az $\omega_v = \omega_0 = \omega_{vs}$ frekvenciafeltétel álló állapotban és szinkron fordulatszámon teljesül (ez a nyomaték is *szinkron* jellegű).
- Aszinkron gépek** esetén az állórész által a forgórészbe transzformátorosan átindukált feszültség hatására a forgórészben

$$\omega_{vs} - \omega_v = s \cdot \omega_0$$

körfrekvenciájú, az állórész által létrehozott forgómező és a forgórész fordulatszáma közötti fordulatszám-eltéréssel, az s szlippel arányos frekvenciájú feszültség indukálódik. A feszültség azonos szlipfrekvenciájú áramot indít, amely a forgórészhez képest $\omega_{vs} - \omega_v = s \cdot \omega_0$ körfrekvenciával az állórész mező irányába forgó mezőt hoz létre. Ezzel a frekvenciafeltétel azonosságszerűen teljesül minden fordulatszámon. A forgórészben szinkron fordulatszámon nem indukálódik feszültség (a tekercsekben az együttforgás miatt nincs fluxusváltozás), ezért szinkron fordulatszámon nem keletkezik nyomaték. Az ilyen módon képzett nyomatékot *aszinkron jellegű* nyomatéknak nevezzük. A nyomaték képzéséhez az szükséges, az állórész fluxusra merőleges forgórész áramkomponens-igény miatt a forgórész ellenállásnak zérustól eltérőnek kell lennie.

✚ Egyenáramú gépek esetén mind az állórészt, mind a forgórészt egyenárammal gerjesztjük, ezért az $\omega_{vs} = 0$ és $\omega_{vr} = 0$ feltételek esetén az $\omega_v = +\omega_{vs} - \omega_{vr} = 0$ frekvenciafeltétel csak zérus fordulatszámon teljesülhetne. A problémát a *kommutátor-kefe együttes mint frekvenciaátalakító* oldja meg a $0 \rightarrow \omega_{vr}$ frekvenciaátalakítással. (A kommutátor-kefe együttes ugyanis egy olyan frekvenciaátalakító, amelynél a kefékről levehető feszültség frekvenciáját a feszültséget indukáló mező- és a kefék relatív fordulatszáma szabja meg.) Ezzel a frekvenciaátalakítással egyenáramú gépek esetén az $\omega_v = \omega_{vr}$ frekvenciafeltétel minden forgórész fordulatszámon teljesül.

A mechanikus kommutálás további előnye, hogy a forgórész gerjesztést a terheléstől függetlenül az állórész fluxusra merőlegesen rögzíti, és így a nyomaték a $\sin \delta_v = \sin 90^\circ = 1$ miatt maximális értékű lesz.

7.2. PARK VEKTOROK

A Park vektorok a háromfázisú mennyiségeket egyetlen tér-idő vektorba foglalják össze, alkalmazásuk különösen a nemszimmetrikus, tranziens viszonyok tanulmányozása esetén előnyös. Több elnevezése is ismeretes: *háromfázisú-vektor*, *térvektor*, *Park-Gorev vektor*, *Rács-vektor*. A vektorok oszcilloszkóp-, vagy számítógép képernyőjén történő megjelenítésükkel sokszor áttekinthetőbbé teszik a lezajló folyamatokat, mint az időfüggvények. Segítségükkel következtetéseket vonhatunk le a háromfázisú rendszer felharmonikus-tartalmáról, vagy hibáiról (pl. egy fázis szakadása).

7.2.1. Park-vektor alapfogalmak

7.2.1.1. A vektor definíciója

A vektorok definíciós egyenleteit az áramvektorra írjuk fel és tulajdonságait az áramvektor elemzése alapján végezzük, de a leírtak a többi fizikailag értelmezhető vektorra: a *gerjesztés*-re, a *feszültség*-re, és a *fluxus*-ra is érvényesek. A Park-vektorokat megkülönböztetésül az eddig használt vektoroktól vastag betűvel jelöljük.

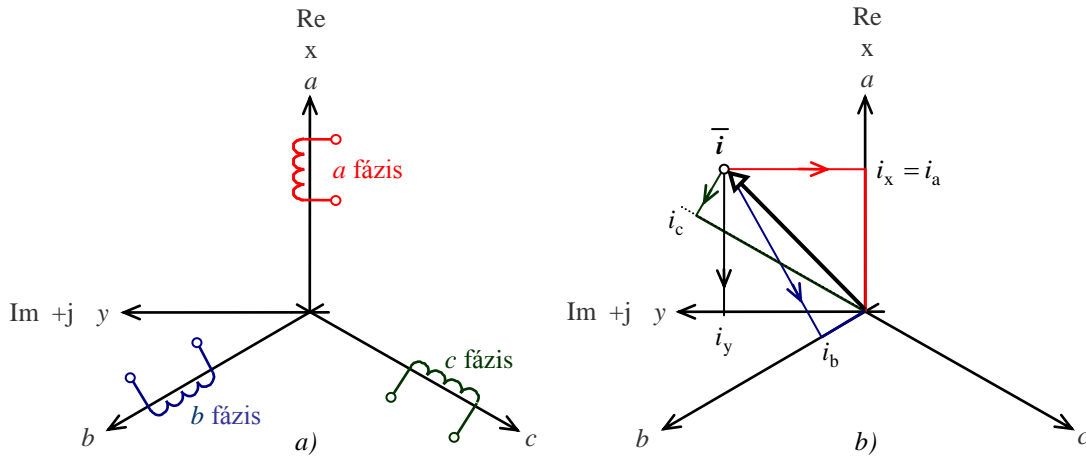
Az áram Park-vektor (a továbbiakban egyszerűen csak áramvektor) definíciós egyenlete:

$$\bar{i} = \frac{2}{3} \cdot \left(i_a + \bar{a} \cdot i_b + \bar{a}^2 \cdot i_c \right), \quad (7.35)$$

amelyben

$$\bar{a} = e^{j\frac{2\pi}{3}} = -\frac{1}{2} + j\frac{\sqrt{3}}{2} \quad \text{és} \quad \bar{a}^2 = e^{-j\frac{2\pi}{3}} = -\frac{1}{2} - j\frac{\sqrt{3}}{2} \quad (7.36)$$

a háromfázisú rendszerek tárgyalásánál is használt (+120°-ot és -120°-ot) forgató, komplex egységvektorok. A vektor nem tartalmazza az i_0 zérus sorrendű (azonos fázisú) összetevőt, mert a mindhárom fázisban fellépő i_0 -t a (7.35) definíciós egyenletbe helyettesítve, abból az $1 + \bar{a} + \bar{a}^2 = 0$ azonosság miatt kiesik. Ezért a zérus sorrendű összetevőt külön kell figyelembe venni.



7.9. ábra Park vektorok

- a) A Park-vektorok értelmezésénél használt koordináta-rendszer;
b) a vetület-szabály és az x-y összetevőkre bontás

A vektoroknál alkalmazott koordináta-rendszert és a fázistekercsek *térbeli* elhelyezkedését a 7.9a ábrán rajzoltuk fel. Mivel a Park-vektorok bevezetésénél a fázissorrend ellentétes volt, mint amit a jelenlegi szabvány előír, (7.35)-ben és a továbbiakban megkülönböztetésül, a könyv előző fejezeteiben használt jelölésektől eltérően s -el jelöljük az állórész-, r -el a forgórész mennyiségeket, ill. a , b és c -vel a fázisokat.

7.2.1.2. A vetületszabály

Az alábbi egyenletekben megadott

$$i_a = \text{Re}[\bar{i}], \quad i_b = \text{Re}[\bar{a}^2 \cdot \bar{i}] \quad \text{és} \quad i_c = \text{Re}[\bar{a} \cdot \bar{i}] \quad (7.37)$$

ún. *vetületszabályok* szerint a vektornak az adott fázistekercs tengelyére eső merőleges vetülete az illető fázismennyiségek pillanatértékeit adja. A vetületeket egy adott időpillanatban berajzoltuk a 7.9b ábrába.

A vetületszabály könnyen bizonyítható a definíciós egyenletbe helyettesítéssel. Például az a fázisra:

$$\begin{aligned} i_a = \operatorname{Re}[\bar{i}] &= \operatorname{Re}\left\{\frac{2}{3} \cdot \left[i_a + \left(-\frac{1}{2} + j\frac{\sqrt{3}}{2}\right) \cdot i_b + \left(-\frac{1}{2} - j\frac{\sqrt{3}}{2}\right) \cdot i_c \right] \right\} = \\ &= \frac{2}{3} \cdot \left[\frac{3}{2} \cdot i_a - \frac{1}{2}(i_a + i_b + i_c) \right], \end{aligned}$$

amely a zérus sorrendű áramok nélkül ($i_a + i_b + i_c = 0$ miatt) i_a -val egyenlő.

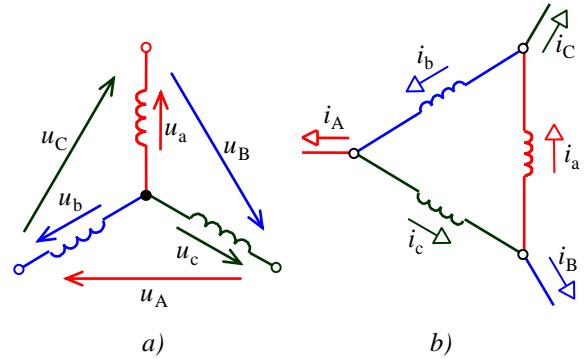
7.2.1.3. A vektor megjelenítése

A vektor láthatóvá tétele, és néha a számítások egyszerűsítése érdekében a vektort célszerű derékszögű x - y komponensekre bontani. (Megjelenítéskor az x koordináta-értékkel az oszcilloszkóp függőleges-, az $-y$ koordinátával pedig a vízszintes eltérítését vezéreljük.) Az x - y komponensekre bontás összefüggései a {a 7.9b ábra és a (7.35) definíciós összefüggésbe helyettesítés alapján $i_a + i_b + i_c = 0$ -t feltételezve}:

$$\bar{i} = i_x + j \cdot i_y, \text{ amelyben } i_x = \operatorname{Re}[\bar{i}] = i_a \text{ és } i_y = \operatorname{Im}[\bar{i}] = \frac{1}{\sqrt{3}} \cdot (i_b - i_c). \quad (7.38)$$

7.2.1.4. A vonali vektor

Gyakran a háromfázisú rendszer nulla-vezető nélküli. Ilyenkor a fázisértékek helyett a vonali értékekkel dolgozunk. A térvektorok esetén szokásos vonatkoztatási irányokat csillagkapcsolásra a 7.10a ábra, háromszöghkapcsolásra a 7.10b ábra mutatja.



7.10. ábra Park vektor vonali vonatkoztatási irányok
a) csillagkapcsolás; b) háromszöghkapcsolás

Az ábrák alapján a vonali áramok ill. vonali feszültségek definíciói:

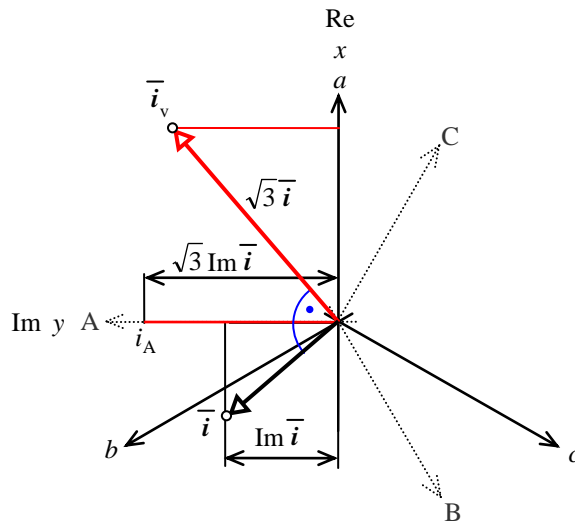
$$i_A = i_b - i_c, \quad i_B = i_c - i_a \quad \text{és} \quad i_C = i_a - i_b; \quad (7.39)$$

illetve

$$u_A = u_b - u_c, \quad u_B = u_c - u_a \quad \text{és} \quad u_C = u_a - u_b. \quad (7.40)$$

A vonali értékeket a (7.35) definíciós összefüggésbe helyettesítve és elvégezve az átalakításokat a vonali áramvektor:

$$\begin{aligned} \bar{i}_v &= \frac{2}{3} \cdot \left(i_A + \bar{a} \cdot i_B + \bar{a}^2 \cdot i_C \right) = \left(\bar{a}^2 - \bar{a} \right) \cdot \frac{2}{3} \cdot \left(i_a + \bar{a} \cdot i_b + \bar{a}^2 \cdot i_c \right) \\ \bar{i}_v &= \left(\bar{a}^2 - \bar{a} \right) \cdot \bar{i} = -j \cdot \sqrt{3} \cdot \bar{i}. \end{aligned} \quad (7.41)$$



7.11. ábra Az A-B-C koordináta-rendszer a vonali vektor pillanatértékeinek fázisvektorból történő meghatározásához

A (7.39) szerint értelmezett vonali vektor tehát 90° -al késik a fázisvektorhoz képest, nagysága pedig a fázisérték $\sqrt{3}$ -szorososa. A vonali pillanatértékeket bizonyíthatóan megkaphatjuk, ha fázis-vektort a 7.11. ábra szerinti A-B-C tengelyekre vetítjük és $\sqrt{3}$ -al szorozzuk. Például az i_A vonali áramra (7.37)-el analóg módon írható:

$$\begin{aligned} i_A &= \text{Re}[\bar{i}_v] = \text{Re}[-j \cdot \sqrt{3} \cdot \bar{i}] = \\ &= \sqrt{3} \cdot \text{Im}[\bar{i}] = \sqrt{3} \cdot i_y \end{aligned} \quad (7.42)$$

Nullavezető nélküli esetben a megjelenítéshez szükséges x-y komponensek a vonali értékekből számíthatók.

(7.38)-at és (7.39)-et felhasználva:

$$i_x = i_a = \frac{1}{3} \cdot (i_c - i_b) \quad \text{és} \quad i_y = \frac{1}{\sqrt{3}} \cdot (i_b - i_c) = \frac{1}{\sqrt{3}} \cdot i_A = -\frac{1}{\sqrt{3}} \cdot (i_c + i_b). \quad (7.43)$$

(7.43) azt mutatja, hogy az x-y komponens meghatározáshoz elegendő csak az i_b és i_c vonali értékek ismerete, illetve tárolása.

7.2.1.5. Szimmetrikus összetevők

Tételezzük fel, hogy egy szimmetrikus háromfázisú, pozitív sorrendű rendszert vizsgálunk, melyet az alábbi időbeli egyenletek írnak le:

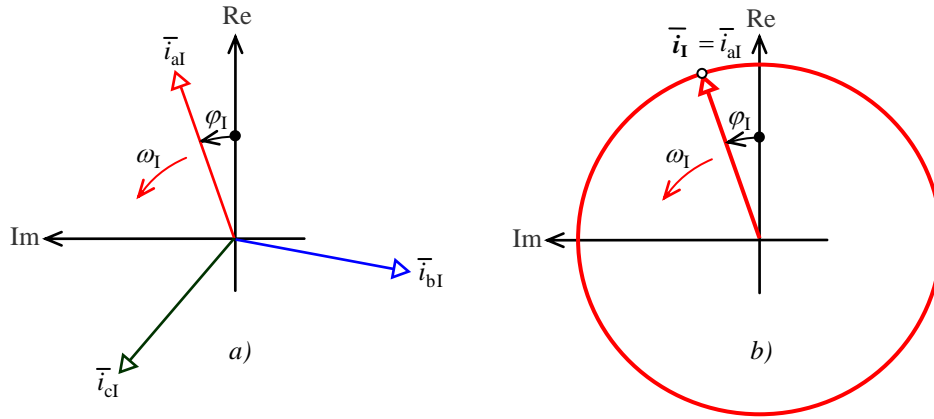
$$\begin{cases} i_{aI} = I_I \cdot \cos(\omega_1 t + \varphi_I) \\ i_{bI} = I_I \cdot \cos(\omega_1 t + \varphi_I - 2\pi/3) \\ i_{cI} = I_I \cdot \cos(\omega_1 t + \varphi_I - 4\pi/3) \end{cases} . \quad (7.44)$$

A (7.44)-ben megadott időfüggvényeket a (7.35) definíciós egyenletbe helyettesítve rövid átalakítások után a pozitív sorrendű áramra az

$$\bar{i}_I = I_I \cdot e^{j\varphi_I} \cdot e^{j\omega_1 t} = \bar{I}_I \cdot e^{j\omega_1 t} = \bar{i}_{aI} . \quad (7.45)$$

összefüggést kapjuk. Az összefüggés szerint a szimmetrikus, pozitív sorrendű áram Park-vektora megegyezik az a fázis komplex vektorával, azaz változatlan amplitúdóval és ω_1 szögsebességgel pozitív irányban forog, végpontja kört ír le.

A 7.12a ábrán a pozitív sorrendű vektorrendszert, a 7.12b ábrán a Park-vektort és a végpontja által leírt pályát rajzoltuk fel.

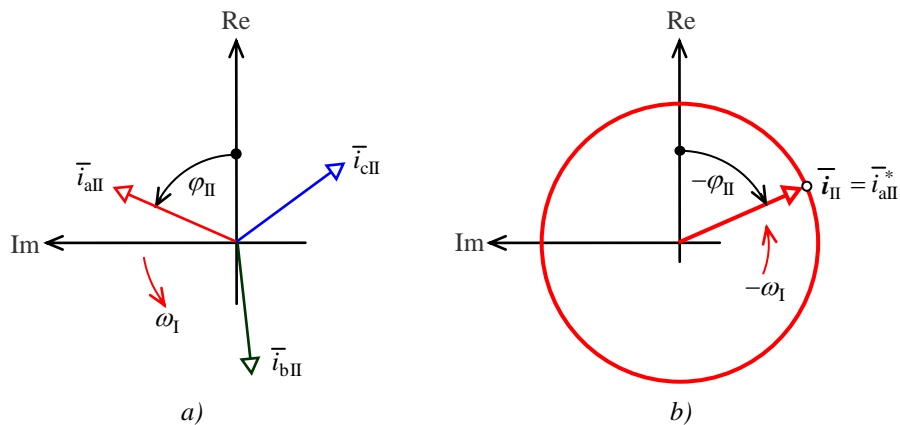


7.12. ábra A pozitív sorrendű rendszer

a) a pozitív sorrendű háromfázisú rendszer; b) a pozitív sorrendű rendszer Park-vektora

Második esetként egy szimmetrikus háromfázisú, *negatív sorrendű* rendszert vizsgálunk, melyet az alábbi időbeli egyenletek írnak le:

$$\begin{cases} i_{aII} = I_{II} \cdot \cos(\omega_{II}t + \varphi_{II}) \\ i_{bII} = I_{II} \cdot \cos(\omega_{II}t + \varphi_{II} + 2\pi/3) \\ i_{cII} = I_{II} \cdot \cos(\omega_{II}t + \varphi_{II} + 4\pi/3) \end{cases} \quad (7.46)$$



7.13. ábra A negatív sorrendű rendszer

a) a negatív sorrendű háromfázisú rendszer; b) a negatív sorrendű rendszer Park-vektora

A (7.46)-ben megadott időfüggvényeket a (7.35) definíciós egyenletbe helyettesítve rövid átalakítások után a negatív sorrendű áramra az

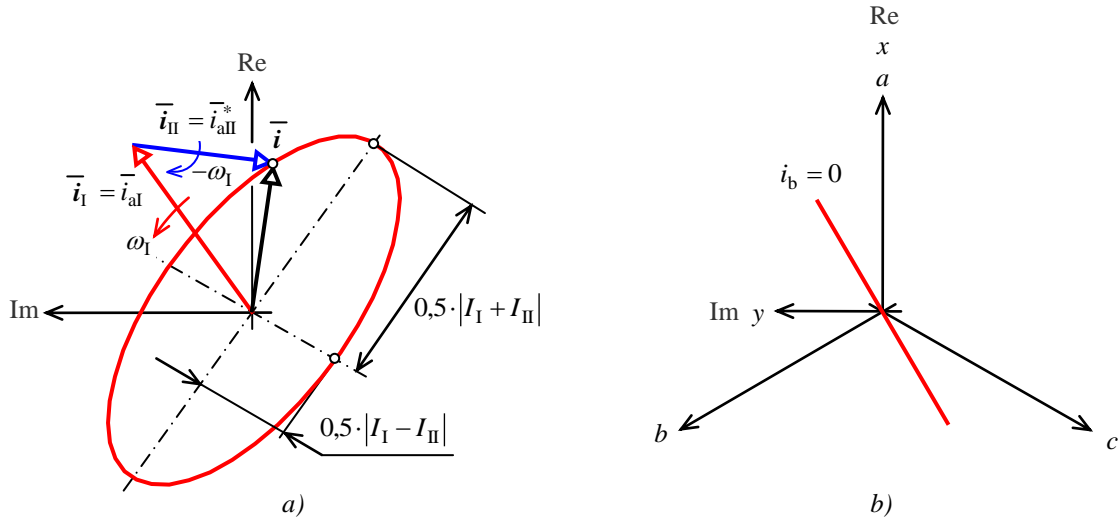
$$\vec{i}_{II} = I_{II} \cdot e^{-j\varphi_{II}} \cdot e^{-j\omega_{II}t} = \vec{I}_{II}^* \cdot e^{-j\omega_{II}t} = \vec{i}_{aII}^* \quad (7.47)$$

összefüggést kapjuk. Az összefüggés szerint a szimmetrikus, negatív sorrendű áram Park-vektora megegyezik az *a* fázis komplex vektorának konjugáltjával; amely változatlan amplitúdóval és ω_I szögsebességgel negatív irányban forog, így végpontja kört ír le. A 7.13a ábrán a negatív sorrendű vektorrendszert, a 7.13b ábrán a Park-vektort és a végpontja által leírt pályát rajzoltuk fel.

Aszimmetrikus üzemállapotban az összetevők együtt lépnek fel és a vektor lineáris definíciós egyenlete miatt szuperponálhatók:

$$\bar{i} = \bar{i}_I + \bar{i}_{II} = \bar{i}_I = I_I \cdot e^{j\varphi_I} \cdot e^{j\omega_1 t} + I_{II} \cdot e^{-j\varphi_{II}} \cdot e^{-j\omega_1 t} = \bar{I}_I \cdot e^{j\omega_1 t} + \bar{I}_{II}^* \cdot e^{-j\omega_1 t} \quad (7.48)$$

Az eredmény egy olyan vektor, melynek végpontja elliptikus pályán mozog (7.14a ábra). Az ellipszis főtengelye a pozitív-, ill. a negatív sorrendű összetevők $|I_I + I_{II}|$ összegevel-, kistengelye pedig az összetevők $|I_I - I_{II}|$ különbségével arányos.



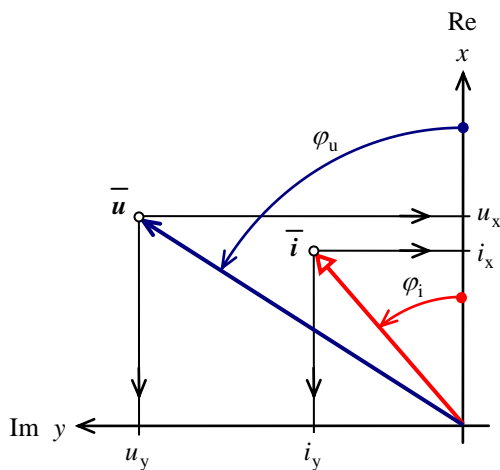
7.14. ábra Park vektorok

a) aszimmetrikus üzemállapot Park vektora; b) Park-vektor végpontja által leírt pálya a b-fázis szakadása esetén

Amennyiben az egyik fázis (pl. a 7.14b ábrán a b fázis) szakadása miatt a fázisban nem folyik áram, a pozitív- és a negatív sorrendű összetevő egyenlő értékű lesz. Ekkor a vetületszabályból adódóan a vektor egy olyan egyenessé fajul, amely a szakadt fázis tengelyére merőleges.

7.2.1.6. A háromfázisú hatásos teljesítmény

A háromfázisú rendszer pillanatnyi hatásos teljesítménye a



7.15. ábra A háromfázisú pillanatnyi teljesítmény számítása a feszültség- és az áram Park vektorok x-y összetevőiből

$$p = u_a \cdot i_a + u_b \cdot i_b + u_c \cdot i_c \quad (7.49)$$

összefüggésből számítható. Ez kifejezhető az \bar{u} feszültség-, és az \bar{i} áram térvektor skaláris szorzataként is:

$$p = \frac{3}{2} \cdot \bar{u} \cdot \bar{i} + 3 \cdot u_0 \cdot i_0, \quad (7.50)$$

ahol $3 \cdot u_0 \cdot i_0$ a pillanatnyi zérus sorrendű teljesítmény (a továbbiakban feltételezzük, hogy nincs zérus sorrendű teljesítmény). A (7.50) összefüggés akár a definíciós képletbe helyettesítéssel, akár a vetületszabállyal igazolható. A térvektorok skaláris szorzata:

$$\bar{\mathbf{u}} \cdot \bar{\mathbf{i}} = \operatorname{Re}[\bar{\mathbf{u}} \cdot \bar{\mathbf{i}}^*] = \operatorname{Re}[\bar{\mathbf{u}}^* \cdot \bar{\mathbf{i}}]. \quad (7.51)$$

A szorzat a (7.51) összefüggés szerint komplex alakban is számítható. Mivel a Park-vektor bevezetése nem változtatja meg sem a vektor amplitúdóját, sem a feszültségek és az áramok közötti szöget, a skaláris szorzat a vektorok bevezetése után is változatlan értékű. A szorzat bármilyen koordináta-rendszerben számítható. Példaként határozzuk meg a háromfázisú pillanatnyi teljesítményt az x-y álló, derékszögű koordináta-rendszerben! A skaláris szorzat:

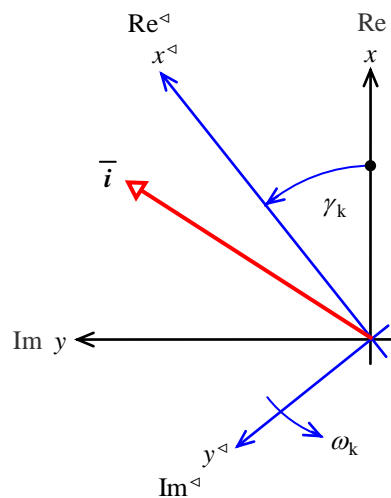
$$p = \frac{3}{2} \cdot \bar{\mathbf{u}} \cdot \bar{\mathbf{i}} = \frac{3}{2} \cdot u \cdot i \cdot \cos(\varphi_u - \varphi_i) = \frac{3}{2} \cdot u \cdot i \cdot (\cos\varphi_u \cdot \cos\varphi_i + \sin\varphi_u \cdot \sin\varphi_i)$$

Ebbe behelyettesítve a feszültség- és áram térvektorok x-y tengelyre eső vetületét (lásd a 7.15. ábrát) a háromfázisú pillanatnyi teljesítmény:

$$p = \frac{3}{2} \cdot u \cdot i \left(\frac{u_x}{u} \cdot \frac{i_x}{i} + \frac{u_y}{u} \cdot \frac{i_y}{i} \right) = \frac{3}{2} \cdot (u_x \cdot i_x + u_y \cdot i_y) \quad (7.52)$$

7.2.1.7. A koordináta-transzformáció

Amikor a villamos gépeket tanulmányozzuk, sokszor leegyszerűsíti a viszonyokat és segít a megértésben, ha a vizsgálatokat egy közös (pl. a forgórészsel együtt-, vagy szinkron szögsebességgel forgó) koordináta-rendszerben végezzük.



Tételezzük fel, hogy az új x^d - y^d derékszögű koordináta-rendszer a természetes (pl. x-y álló) koordináta-rendszerhez képesti szögelfordulása $\gamma_k = \omega_k t$, szögsebessége ω_k . A 7.16. ábra alapján látható, hogy az új koordináta-rendszer a természeteshez képest γ_k szöggel előre jár, így az áram Park-vektor az új rendszerben:

$$\bar{\mathbf{i}}^d = \bar{\mathbf{i}} \cdot e^{-j\gamma_k} \quad (7.53)$$

Visszatranszformáláskor fordított irányú lépést kell végrehajtanunk:

$$\bar{\mathbf{i}} = \bar{\mathbf{i}}^d \cdot e^{j\gamma_k}. \quad (7.54)$$

7.16. ábra Vektortranszformáció más szögsebességgel forgó koordináta-rendszerbe

A (7.53) és a (7.54) összefüggésekből az is látható, hogy a koordináta oda- és visszatranszformációk nem változtatják meg sem a vektor amplitúdóját, sem a fázisszöget.

7.2.2. A Park-vektorok alkalmazása

7.2.2.1. Aszinkron és szinkron gépek feszültség- és fluxus-egyenletei térvektoros alakban

A háromfázisú szimmetrikus felépítésű forgógép állórészének feszültség-egyenletei álló (természetes) koordináta-rendszerben felírva:

$$u_{sa} = i_{sa} \cdot R_1 + \frac{d\psi_{sa}}{dt}, \quad u_{sb} = i_{sb} \cdot R_1 + \frac{d\psi_{sb}}{dt} \quad \text{és} \quad u_{sc} = i_{sc} \cdot R_1 + \frac{d\psi_{sc}}{dt} \quad (7.55)$$

Úgy, ahogy az előző pontban a (7.35) összefüggésben az áramokkal tettük, felírható az állórész feszültségek és fluxusok Park-vektora:

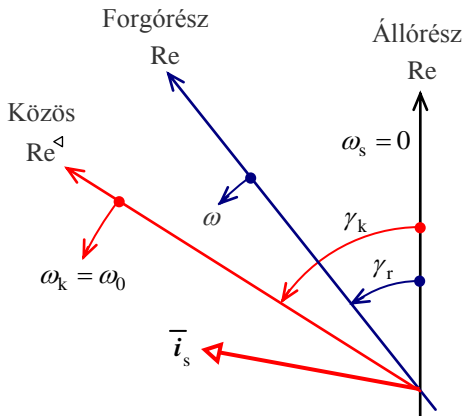
$$\bar{u}_s = \frac{2}{3} \cdot \left(u_{sa} + \bar{a} \cdot u_{sb} + \bar{a}^2 \cdot u_{sc} \right), \quad \text{és} \quad (7.56)$$

$$\bar{\psi}_s = \frac{2}{3} \cdot \left(\psi_{sa} + \bar{a} \cdot \psi_{sb} + \bar{a}^2 \cdot \psi_{sc} \right). \quad (7.57)$$

Ezekkel az állórész (7.55)-ben megadott feszültség-egyenletei Park-vektoros alakban:

$$\bar{u}_s = \bar{i}_s \cdot R_1 + \frac{d\bar{\psi}_s}{dt} \quad (7.58)$$

Hasonló egyenlet írható fel a motor forgórészére a forgórészrel együttforgó (a forgórész szempontjából az ω szögsebességgel forgó koordináta rendszer a természetes) koordináta rendszerben:



7.17. ábra Vektortranszformáció a szinkron szögsebességgel forgó közös rendszerbe

$$\bar{u}_r = \bar{i}_r \cdot R_2 + \frac{d\bar{\psi}_r}{dt} \quad (7.59)$$

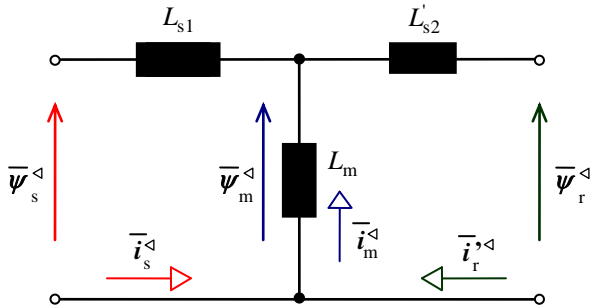
A gép eredő fluxusát meghatározó gerjesztések azonban csak egy közös koordináta rendszerben összegezhetők. Aszinkron gépnél a forgórész tekercselésben folyó szlipfrekvenciás áramok a forgórészhez képest szlipfrekvenciával az állórész mező irányába forgó mezőt hoznak létre, így a forgórész által létrehozott mező is ω_0 szinkron szögsebességgel forog.

Ezért célszerű közös koordináta-rendszernek az ω_0 szinkron szögsebességgel forgót választani (7.17.

ábra), ami szinkron gépeknél egyébként is a forgórészre nézve természetes. Felhasználva a (7.53) transzformációs összefüggést a (7.58) állórész egyenletet $e^{-j\omega_0 t}$ -vel, a (7.59) forgórész egyenletet $e^{-j(\omega_0 - \omega)t}$ -vel kell szorozni. Ezekkel az aszinkron és szinkron gépekre is érvényes álló- és forgórész egyenletek szinkron szögsebességgel forgó koordináta-rendszerben ($\bar{\cdot}$ jelöléssel különböztetve meg az új rendszerben felírt egyenleteket):

$$\bar{u}_s^{\triangleleft} = \bar{i}_s^{\triangleleft} \cdot R_1 + \frac{d\bar{\psi}_s^{\triangleleft}}{dt} + j \cdot \omega_0 \cdot \bar{\psi}_s^{\triangleleft} \quad \text{és} \quad (7.60)$$

$$\bar{u}_r^{\triangleleft} = \bar{i}_r^{\triangleleft} \cdot R_2 + \frac{d\bar{\psi}_r^{\triangleleft}}{dt} + j \cdot (\omega_0 - \omega) \cdot \bar{\psi}_r^{\triangleleft}. \quad (7.61)$$



7.18. ábra Helyettesítő vázlat a közös, szinkronforgó koordináta rendszerben

Az álló- és forgórész kör (teljes) induktivitásai

$$L_s = L_m + L_{s1} \quad \text{és} \quad (7.62)$$

$$L_r' = L_m + L_{s2}',$$

amelyben L_{s1} az állórész szórási-; L_{s2}' a forgórész szórási-; L_m az állórész és a forgórész tekercsek közötti kölcsönös (főmező) induktivitás. A szinkronforgó koordináta-rendszerbe transzformálás után a (7.60) és

(7.61) egyenletek utolsó tagjaként (a differenciálásból adódóan) megjelentek a *forgási* feszültségek.

A közös koordináta-rendszerben a gerjesztések alapján most már meghatározhatók az állórész és forgórész fluxusok (lásd a 7.18. ábrán a vasvesztesség elhanyagolásával felrajzolt helyettesítő vázlatot):

$$\bar{\psi}_s^{\triangleleft} = L_s \cdot \bar{i}_s^{\triangleleft} + L_m \cdot \bar{i}_r^{\triangleleft} = L_{s1} \cdot \bar{i}_s^{\triangleleft} + L_m \cdot (\bar{i}_s^{\triangleleft} + \bar{i}_r^{\triangleleft}) = L_{s1} \cdot \bar{i}_s^{\triangleleft} + L_m \cdot \bar{i}_m^{\triangleleft} \quad (7.63)$$

$$\bar{\psi}_r^{\triangleleft} = L_m \cdot \bar{i}_s^{\triangleleft} + L_r' \cdot \bar{i}_r^{\triangleleft} = L_{s2}' \cdot \bar{i}_r^{\triangleleft} + L_m \cdot (\bar{i}_s^{\triangleleft} + \bar{i}_r^{\triangleleft}) = L_{s2}' \cdot \bar{i}_r^{\triangleleft} + L_m \cdot \bar{i}_m^{\triangleleft} \quad (7.64)$$

A (7.60)...(7.64) ω_0 szögsebességgel forgó rendszerben felírt egyenletek többek között az aszinkron gépek ún. *mezőorientált* szabályozásának alapegyenletei. A módszernél ezen túlmenően a szinkronforgó koordináta-rendszert úgy rögzítik, hogy annak reális tengelye a forgórész gerjesztési tengelyével, a d -tengellyel essen egybe. Ezzel a választással a forgórész d irányú árama adja a nyomatékképzésben résztvevő fluxus létrehozásához szükséges gerjesztést, q irányú árama pedig a nyomaték szempontjából hatásos forgórész áramot. Ezzel a gépet a szabályozástechnikában kedvelt egyenáramú gépre vezetik vissza, amelynél egymástól függetlenül tudjuk szabályozni a fluxust és a nyomatékképzéshez szükséges armatúraáramot. A módszer hátránya bonyolultsága. A gyors mikroszámítógépek (Digitális Szignál Processzorok, angolból rövidítve DSP-k) egyre olcsóbbá válása és a koordináta transzformációkra kifejlesztett céláramkörök azonban egyre több frekvenciaváltóban teszik lehetővé a mezőorientáció alkalmazását.

A következőkben a (7.60)...(7.64) egyenletek alapján gyakorlásképpen szinkronforgó koordináta-rendszerben (elhagyva a \triangleleft jelölést) felírjuk az *aszinkron gép* állandósult állapotra érvényes tervvektoros egyenletét és felrajzoljuk a helyettesítő vázlatot.

Állandósult állapotban $\frac{d\bar{\Psi}_s}{dt}=0$ és $\frac{d\bar{\Psi}_r}{dt}=0$, valamint felhasználva még $\omega_0 - \omega = s \cdot \omega_0$

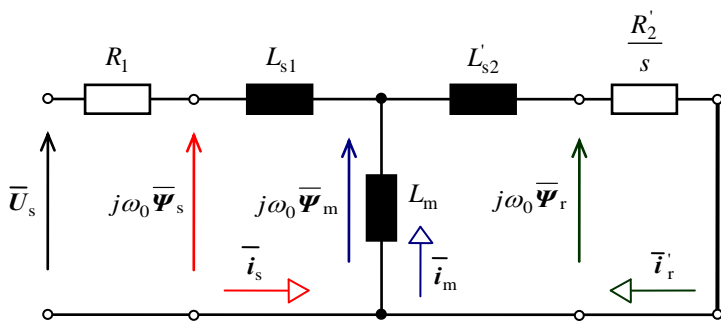
összefüggést írható:

$$\bar{u}_s = \bar{i}_s \cdot R_1 + j \cdot \omega_0 \cdot \bar{\Psi}_s, \quad \text{és} \quad (7.65)$$

$$\bar{u}_r = \bar{i}_r \cdot R_1 + j \cdot s \cdot \omega_0 \cdot \bar{\Psi}_r. \quad (7.66)$$

Rövidrezárt forgórészű motorok esetén $\bar{u}_r = 0$. A (7.66) egyenletet az s szlippel végigosztva és az állórészre redukálva:

$$\frac{\bar{u}_r'}{s} = 0 = \bar{i}_r' \cdot \frac{R_2'}{s} + j \cdot \omega_0 \cdot \bar{\Psi}_r'. \quad (7.67)$$



7.19. ábra Rövidrezárt aszinkron gép állandósult üzemben érvényes helyettesítő vázlatának térvektoros alakja

A (7.65) és (7.67) egyenletek alapján a 7.19. ábrán térvektorokkal felrajzoltuk a rövidrezárt forgórészű motor állandósult állapotához tartozó helyettesítő vázlatát.

Ehhez hasonlóan (7.60...7.64) egyenletekből kiindulva szinkronforgó koordináta-rendszerben felírjuk a hengeres forgórészű szinkron gép állandósult állapotban érvényes térvektoros egyenleteit és felrajzoljuk az armatúrakör helyettesítő vázlatát.

Állandósult állapotban $\frac{d\bar{\Psi}_s}{dt} = 0$ és $\frac{d\bar{\Psi}_r}{dt} = 0$; és mivel $\omega = \omega_0$, (7.61) utolsó tagja kiesik, írható:

$$\bar{u}_s = \bar{i}_s \cdot R_s + j \cdot \omega_0 \cdot \bar{\Psi}_s, \quad \text{és} \quad (7.68)$$

$$\bar{u}_r = \bar{i}_r \cdot R_r. \quad (7.69)$$

(7.63) alapján az állórész fluxusa:

$$\bar{\Psi}_s = L_s \cdot \bar{i}_s + L_a \cdot (\bar{i}_s + \bar{i}_r') = L_s \cdot \bar{i}_s + L_m \cdot \bar{i}_s + L_m \cdot \bar{i}_r'. \quad (7.70)$$

A (7.70) egyenletekben az \bar{i}_r' forgórészáram csak a gerjesztőáramtól függ, a gerjesztőáramnak az állórészre redukált értéke. A redukciót a következő összefüggés alapján végezhetjük (levezetése megtalálható [19]-ben):

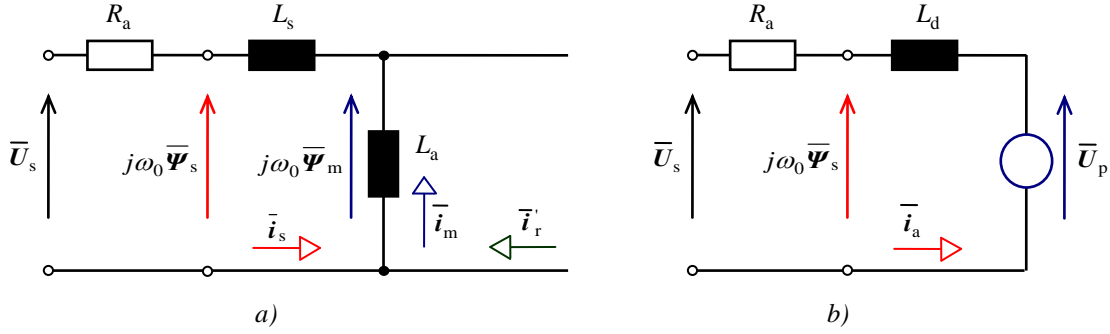
$$I_r' = \frac{\sqrt{2}}{3} \cdot \frac{N_r \cdot \xi_r}{N_s \cdot \xi_s} \cdot I_g, \quad (7.71)$$

amelyben N_s és N_r az armatúra- ill. a gerjesztőtekercs menetszáma; ξ_s és ξ_r a tekercselési tényezők. Ez a forgórész egyenáram az armatúrakörben váltakozó áramot hoz létre, amelynek értéke a terheléstől független.

A szinkron gépnél használt jelölések: $R_l = R_a$; $L_{s1} = L_s$; $L_m = L_a$ és $L_d = L_a + L_s$.
(7.70)-et (7.68)-ba helyettesítve:

$$\bar{u} = \bar{i}_a \cdot R_a + j \cdot \omega_0 \cdot L_s \cdot \bar{i}_a + j \cdot \omega_0 \cdot L_a \cdot \bar{i}_a + j \cdot \omega_0 \cdot L_a \cdot \bar{i}_r' = . \quad (7.72)$$

(7.72) alapján felrajzolható a szinkron gép állandósult állapotra érvényes térvektoros helyettesítő vázлата (7.20a ábra). Az egyenlet átrendezett alakja:



7.20. ábra Szinkron gép állandósult üzemben érvényes helyettesítő vázлата térvektoros alakban

$$\begin{aligned} \bar{u} &= \bar{i}_a \cdot R_a + j \cdot \omega_0 \cdot (L_s + L_a) \cdot \bar{i}_a + j \cdot \omega_0 \cdot L_a \cdot \bar{i}_r' = \\ &= \bar{i}_a \cdot R_a + j \cdot \omega_0 \cdot (L_s + L_a) \cdot \bar{i}_a + \bar{u}_p . \end{aligned} \quad (7.73)$$

a megszokott helyettesítő vázlatot adja (7.20b ábra).

A teljesség kedvéért összefoglaljuk a nyomaték képleteket is (levezetését lásd az ebben a témakörben alaplűnek számító [19] 4.2.8.4 fejezetében):

$$m = c \cdot p \cdot (\bar{\Psi}_s \times \bar{i}_s) = -c \cdot p \cdot (\bar{\Psi}_r \times \bar{i}_r) \quad \text{és} \quad (7.74)$$

$$m = c \cdot p \cdot L_m \cdot (\bar{i}_r \times \bar{i}_s) \quad (7.75)$$

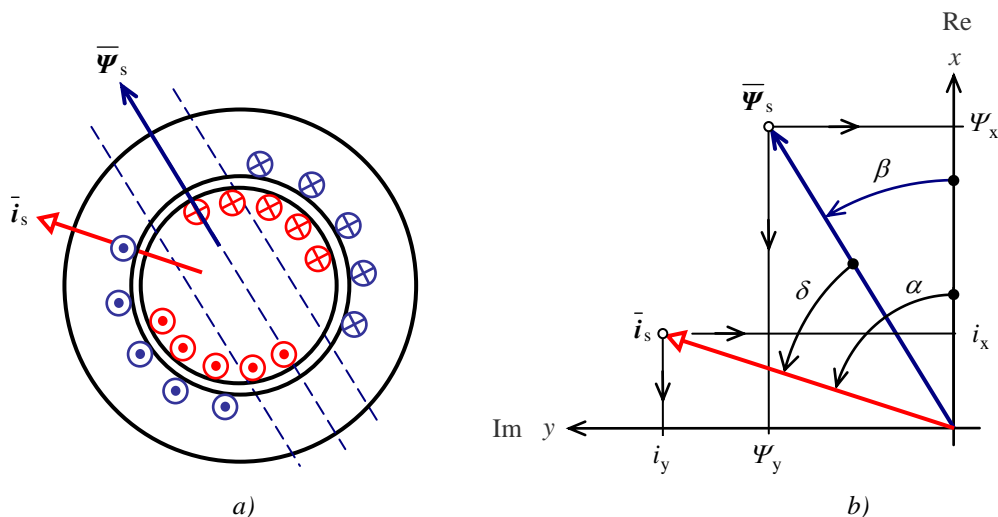
ahol p a póluspárok száma, a c konstans értéke $c = 3/2$ háromfázisú-, és $c = 1$ kétfázisú gépekre.

7.2.2.2. A fluxusvektor és a nyomaték időfüggvényének mérése

A (7.58) térvektoros állórész feszültségegyenlet átrendezett alakja lehetőséget biztosít az állórész fluxusvektor mérésére:

$$\bar{\Psi}_s = \int_0^t (\bar{u}_s - \bar{i}_s \cdot R_s) dt + \bar{\Psi}_0 \quad (7.76)$$

(7.70) szerint a fluxusvektor meghatározásához az állórész feszültségből először le kell vonni az állórész ellenálláson eső feszültséget, majd az így kapott indukált feszültséget integrálni kell és végül hozzáadni a kiindulási feltételt.



7.21. ábra A nyomaték számítása az állórész áram- és a fluxus térvektor x-y komponenseiből

A 7.21a ábra aszinkron motor esetén, egy adott pillanatban mutatja a $\bar{\psi}_s$ és \bar{i}_s vektorok térbeli elhelyezkedését. A nyomaték pillanatértéke (7.74) szerint a $\bar{\psi}_s$ az állórész fluxus és az \bar{i}_s állórészáram vektoriális szorzatából határozható meg:

$$m = c \cdot p \cdot (\bar{\psi}_s \times \bar{i}_s). \quad (7.77)$$

Az ezzel az eljárással kapott nyomaték csak a vasvesztés elhanyagolása miatt nagyobb a valóságosnál, ami viszont számításba vehető.

A vektoriális szorzat a $\bar{\psi}_s$ fluxus- és az \bar{i}_s áram térvektor 7.21b ábra alapján x-y komponenseire bontott értékeiből:

$$\begin{aligned} (\bar{\psi}_s \times \bar{i}_s) &= \psi \cdot i \cdot \sin \delta = \psi \cdot i \cdot \sin \delta = \psi \cdot i \cdot \sin(\alpha - \beta) = \\ &= \psi \cdot i \cdot (\sin \alpha \cdot \cos \beta - \cos \alpha \cdot \sin \beta) = \psi \cdot i \cdot \left(\frac{i_y}{i} \cdot \frac{\psi_x}{\psi} - \frac{i_x}{i} \cdot \frac{\psi_y}{\psi} \right). \end{aligned}$$

Ezt behelyettesítve a (7.71) összefüggésbe a pillanatnyi nyomaték:

$$m = c \cdot p \cdot (\bar{\psi}_s \times \bar{i}_s) = c \cdot p \cdot (\psi_x \cdot i_y - \psi_y \cdot i_x) \quad (7.78)$$

Ezen az elven méri a nyomatékot a BME Villamosgépek Tanszéken kifejlesztett nyomatékmérő berendezés [16], [25]. A készülék tranziens üzemállapotban (pl. félvezetős táplálás esetén) is használható, a nyomatékméréshez nem szükséges mérleggép és erőmérő cella illetve nyomatékmérő tengely.

7.3. ELLENŐRZŐ KÉRDÉSEK

1. Definiálja a mágneses energia fogalmát!
2. Definiálja a koenergia energia fogalmát!
3. Mire fordítódik egytekercses esetben a tekercsbe betáplált villamos energia?
4. Hogyan számítható ki linearizált esetben a nyomaték, ha a változás közben a tekercssel kapcsolódó fluxus állandó?
5. Hogyan számítható ki linearizált esetben a nyomaték, ha a változás közben a tekercs árama állandó (áramkényszer)?
6. Linearizált esetben hogyan számítható ki egy egyoldalról táplált villamos gép nyomatéka a tekercsben tárolt mágneses-, illetve a koenergiából?
7. Mit mond ki a frekvenciafeltétel?
8. Mit mond ki a *Ferraris* tétel?
9. Definiálja a Park-vektor fogalmát!
10. Milyen összetevőt nem tartalmaz a Park-vektor?
11. Mit mond ki Park-vektorok esetén a vetület szabály?
12. Definiálja a vonali Park-vektort!
13. Hogyan jelenítjük meg a Park-vektort?
14. Milyen helygörbét ír le, és milyen irányban forog a Park vektor szimmetrikus háromfázisú rendszer esetén?
15. Milyen helygörbét ír le az áram Park-vektor, ha egy háromfázisú rendszer valamelyik fázisa szakadt?
16. Milyen helygörbét ír le az áram Park-vektor, ha a háromfázisú rendszer nem szimmetrikus (eltérő értékű pozitív- és negatív sorrendű összetevőt is tartalmaz)?
17. Hogy számítható ki a két összetevő értéke nem szimmetrikus háromfázisú rendszer esetén?
18. Mit nevezünk levélgörbének?
19. Hogyan számítható ki a háromfázisú hatásos teljesítmény a Park-vektor összetevők segítségével?
20. Hogyan határozható meg az állórész fluxusvektor a feszültségvektor és a gépparaméterek ismeretében?
21. Hogyan számítható ki a nyomaték az áram- és a fluxus térvektor összetevők segítségével?

JELÖLÉSEK JEGYZÉKE

a	a áttétel, kommutátoros tekercselés ágpárainak a száma; a_1 , a_2 a primer- és szekunder tekercselés párhuzamos ágainak száma
A	A felület, keresztmetszet, kerületi áram, gyorsító energia; A_f fog tiszta vaskeresztmetszete; A_h horony keresztmetszete
b	b sáv szélesség; b_i ideális pólusív; b_k kefé szélesség; b_p pólustörzs szélessége; b_{sp} segédpólussaru szélessége b_{sza} és b_{szp} radiális szellőzőrések szélessége az armatúrában, illetve a póluskerékben
B	B indukció; B_{ak} armatúrakoszorú indukciója, B_f valóságos fogindukció; B'_f látszólagos fogindukció; B_p pólustörzs indukciója; B_δ légrésindukció; B'_δ illesztési légrés indukciója; $B_{\delta a}$ légrésindukció a geometriai semleges vonalban segédpólus nélkül; $B_{\delta k}$ közepes légrésindukció; $B_{\delta m}$ maximális légrésindukció; $B_{\delta sp}$ légrésindukció a segédpólus alatt
c	c horonyszáj szélessége; c_a és c_p horonyszáj szélessége az armatúrában, illetve a pólusokban; c párhuzamos szálak száma a tekercselésekben
d	d a hosszirány jelölése
D	D_a armatúraátmérő; D_k kommutátorátmérő; D_{pk} póluskoszorú átmérője
E	E villamos térerősség; erősítési tényező
f	f frekvencia; fogszélesség; f_l hullámos áram formatényezője; f_l lengési frekvencia; f_r rezonanciafrekvencia
F	erő, formatényező
G	grafit; súly
h	h_{pk} póluskoszorú, h_{ak} az armatúrakoszorú sugárirányú mérete
H	H mágneses térerősség; H_{ak} mágneses térerősség az armatúrakoszorúban; H_f mágneses térerősség a fogban; H_m mágneses térerősség állandó mágnesben; H_p mágneses térerősség a pólusban; H_{pk} mágneses térerősség a póluskoszorúban; H_{sz} mágneses térerősség a széles fogban; H_v mágneses térerősség a vasban; H_δ mágneses térerősség a légrésben; H'_δ mágneses térerősség az illesztési légrésben

- i* i az áram pillanatértéke; i_k a kommutáló tekercs árama; i_{azm} rövidzárlati armatúraáram váltakozó összetevőjének csúcserőértéke; i_{az}^* rövidzárlat utáni armatúraáram pillanatértéke; i_{gz}^* rövidzárlat utáni gerjesztőáram pillanatértéke; i a mechanikai áttétel
- I* I_a armatúraáram; $I_{ág}$ ágáram kommutátoros forgórészben; I_{ad} armatúraáram hosszirányú összetevője; I_{amax} legnagyobb armatúraáram indításkor; I_{amin} legkisebb armatúraáram indításkor; I_{an} névleges armatúraáram; I_{aq} armatúraáram keresztirányú összetevője; I_{az} állandósult rövidzárlási áram; I_{az}' rövidzárlat utáni tranziens áram váltakozó összetevőjének effektív értéke; I_{az}'' rövidzárlat utáni szubtranzienst áram váltakozó összetevőjének effektív értéke; I_e rövidzárlati áram egyenáramú összetevőjének a kezdeti értéke; I_{eff} hullámos áram effektív értéke; I_g gerjesztőáram; I_d hullámos áram középértéke; I_{ko} kompenzáló tekercselés áram; I_{gy} gyűrűáram; I_{sp} segédpólustekercselés árama; I_r rúdáram; I_v vezérlőáram, vasveszteségi áram; I_1 és I_2 primer, ill. szekunder áram; I_0 üresjárási áram; I_n névleges áram; I_t terhelőáram; I_z rövidzárlási áram
- J* J jósági tényező; J tehetetlenségi nyomaték
- k* k csillapítási tényező, a kompenzáltág mértéke; k_c Carter-tényező; k_{ca} és k_{cp} az armatúra-, illetve a pólusok adataival számított Carter-tényező; k_{csp} a segédpólus légréssel számított Carter-tényező; k_d és k_q tényező a hatásos hosszirányú, illetve keresztirányú armatúragerjesztés számításához; k_h horonyvezetési tényező; k_v vaskitöltési tényező; k_f formatényező
- K* K kommutátorszeletek száma; K_a armatúrafurat köbtartalma; V_a a forgórész köbtartalma
- l* l_a armatúrahossz; l_{gk} gerjesztőtekercs közepes menethossza; l_i ideális armatúrahossz; l_k közepes menethossz; l_p pólushossz; l_{pk} póluskoszorú tengelyirányú mérete; l_s segédpólussaru hossza; l_t közepes tekercsfelhossz; l_v tiszta vashossz
- L* L önindukciós tényező; L_a armatúra induktivitása; L_{ak} armatúrakoszorú közepes erővonalhossza; L_f fog közepes erővonalhossza; fojtótekercs induktivitása; L_g gerjesztőkör induktivitása; L_m kölcsönös induktivitás, közepes erővonalhossz állandó mágnesben; L_p pólus közepes erővonalhossza; L_{pk} póluskoszorú közepes erővonalhossza; L_s szórás induktivitás, állórész induktivitás; L_r forgórész induktivitás; L_{sh} horonyszórás induktivitás; L_{sz} széles fog sugárirányú mérete; L_t egy tekercs induktivitása

m	m fázisszám, nyomaték-időfüggvény, járatok száma, tömeg, fokozatok száma
M	M nyomaték; kölcsönös induktivitás; M_B billenőnyomaték; M_M motor nyomatéka; M_S szinkronozó nyomaték; M_T terhelőnyomaték; M_{T0} statikus terhelőnyomaték (tengelyen); M_v villamos nyomaték; M_{v0} statikus villamos nyomaték; M_d tömeggyorsítási nyomaték
n	n fordulatszám; n_{sz} szellőzőrések száma; n_0 szinkron fordulatszám
N	N menetszám; fázisonkénti menetszám; N_g gerjesztőtekercs menetszáma; N_{sp} segédpólustekercs menetszáma; N_t egy tekercs menetszáma
p	p póluspárok száma
P	P hatásos teljesítmény; P_b belső teljesítmény; P_v vasvesztés, vezérlőteli teljesítmény; P_t tekercsvesztés; P_δ légrésteljesítmény; P_1 és P_2 felvett, ill. leadott teljesítmény; P_{s+v} súrlódási- és ventilációs veszteség
q	q huzalkeresztmetszet, fázisonkénti és pólusonkénti horonyszám, keresztirány jelölése; q ill. q_s a legkisebb és a legnagyobb indítási/fékezési áram hányadosa állandó fluxusú, ill. soros gépeknél
Q	meddőteljesítmény, az árammunkadiagram pontjainak jelölése
R	R_a az armatúra ellenállása; R_b belső ellenállás; R_e előtétellenállás; R_g gerjesztőtekercs ellenállása; R_i indítóellenállás; R_f fékező ellenállás; R_l ill. R_s állórész fázisellenállás; R_2 ill. R_r forgórész fázisellenállás; R_{sz} gerjesztőkör előtétellenállása; R_t terhelőellenállás
s	s szlip, áramsűrűség; s_B billenőszlip; s_k kefe átlagos áramsűrűsége
S	S látszólagos teljesítmény, tekercsszélesség
t	t idő
T	T időállandó; T_m elektromechanikai időállandó; T_d' és T_d'' tranziens, ill. szubtranzienst időállandó;
u	u tekercsoldalszám; feszültség pillanatértéke; u_i indukált feszültség pillanatértéke
U	U kapocsfeszültség; U_a armatúrareaktancia feszültsége; ΔU_k kefeátmeneti feszültségesés; U_g gerjesztőfeszültség; U_i indukált feszültség; U_{iG} és U_{iM} generátor, ill. motor indukált feszültsége; U_{rem} remanenciafeszültség; U_{it} terhelési indukált feszültség; U_{iv} ív feszültségesése; U_d hullámos feszültség középértéke; U_m mágneses feszültség; U_{mak} armatúrakoszorú mágneses feszültsége; U_{maf} armatúrafog mágneses feszültsége; U_{mpf} pólusfog mágneses feszültsége;

U	U_{mp} pólus mágneses feszültsége; U_{mpk} póluskoszorú mágneses feszültsége; U_{msp} segédpóluslégrés mágneses feszültsége; U_{msz} széles fog mágneses feszültsége; $U_{m\delta}$ légrés mágneses feszültsége; $U_{m\delta'}$ illesztési légrés mágneses feszültsége; U_p pólusfeszültség; U_{re} reaktanciafeszültség; U_n névleges feszültség; U_R ohmos feszültségesés; U_s szórási feszültség; U_{szk} szeletfeszültség középértéke; U_{szm} szeletfeszültség üresjárási maximális értéke; U_{szm}' szeletfeszültség terhelési maximális értéke; U_v vezérlőfeszültség; U_0 üresjárási feszültség; U_{zn} névleges rövidzárási feszültség
v	v_a armatúra kerületi sebessége; v_k kommutátor kerületi sebessége; $v_{1,0}$ veszteségi szám
V	V_a az armatúra vastest köbtartalma
x	x távolság;
X	X szinkron reaktancia; X_a armatúrareaktancia; X_m főmező reaktancia; X_{ad} és X_{aq} hosszirányú, ill. keresztirányú armatúrareaktancia; X_d hosszirányú szinkron reaktancia; X_d' hosszirányú tranziens reaktancia; X_d'' hosszirányú szubtranzien reaktancia; X_n névleges reaktancia; X_q keresztirányú szinkron reaktancia; X_2 negatív sorrendű reaktancia
y	y eredő tekercselési lépés; y_h horonylépés; y_k kommutátorlépés; y_1 tekercsszélesség; y_2 kapcsolási lépés
z	z összes hatásos vezetők száma; z_{ko} kompenzáló tekercselés pólusonkénti vezetőszáma;
Z	Z horonyszám, impedancia; Z_k kalicka rúdszáma; Z_z rövidzárási impedancia
α	α lengési szög; α_g geometriai szög; α_i ideális pólusív és pólusosztás hányadosa; α_v villamos szög
β	β egyenlőtlenségi fok;
γ	γ lépésrövidítési szög
δ	δ terhelési szög; légrés sugárirányú mérete; δ_{sp} segédpólus alatti légrés; δ' illesztési légrés
ε	ε_h lépésrövidítés horony-lépésben
Θ	Θ gerjesztés; Θ_a armatúragerjesztés; Θ_{ad} hosszirányú armatúragerjesztés; Θ_{ae} ellenforgó (negatív sorrendű) gerjesztés; Θ_{aq} keresztirányú armatúragerjesztés; Θ_{ko} kompenzáló tekercs gerjesztése; Θ_m gerjesztés térbeli maximuma;

Θ	Θ_p (mellékáramkörű) pólusgerjesztés; Θ_{ps} soros tekercs gerjesztése; Θ_{sp} segédpólustekercs gerjesztése; Θ_v vasra jutó gerjesztés; Θ_δ légrésre jutó gerjesztés; Θ_1 gerjesztés alapharmonikusának amplitúdója
λ	λ legnagyobb és legkisebb indítási áram hányadosa; λ_t armatúrahorony egységnyi hosszának egyenértékű mágneses vezetőképessége
Λ	Λ mágneses vezetőképesség; Λ_h horony mágneses vezetőképessége; Λ_{ps} pólus szórt fluxusának mágneses vezetőképessége; Λ_s eredő szórási vezetőképesség; Λ_t tekercsfejszórási vezetőképesség
μ	μ lengési körfrekvencia; μ_r relatív permeabilitási tényező; μ_0 vákuum permeabilitási tényezője
ν	felharmonikus rendszám
γ	γ_I áramhullámosság; γ_U feszültség hullámosság;
ρ	ρ fajlagos ellenállás, sűrűség
σ	σ szórási tényező
τ	τ_h horonyosztás; τ_p pólusosztás
φ	φ fázisszög
Φ	Φ hasznos fluxus; Φ_a armatúrafluxus; Φ_d hosszirányú fluxus; Φ_f a fog fluxusa; Φ_m maximális fluxus; Φ_h a horony fluxusa; Φ_{max} és Φ_{min} legnagyobb és legkisebb fluxus indításkor/fékezésakor; Φ_p pólus hasznos és szórt fluxusának összege; Φ_{pf} széles fog hasznos és szórt fluxusának összege; Φ_{ps} pólus szórt fluxusa; Φ_q keresztirányú fluxus; Φ_{rem} remanens fluxus;
Ψ	Ψ pólusfeszültség és armatúraáram vektorai által bezárt szög, tekercsfluxus
ξ	ξ tekercselési tényező; ξ_e elosztási tényező; ξ_h húrtényező; ξ_{ev} a felharmonikus elosztási tényezője
ω	ω mechanikai szögsebesség, körfrekvencia; ω_v villamos szögsebesség

IRODALOMJEGYZÉK

- [1]. Barabás M.: Villamos gépek I. (1. rész)
Műszaki Könyvkiadó, Budapest, 1981
- [2]. Barabás M.: Villamos gépek I. (2. rész)
Műszaki Könyvkiadó, Budapest, 1981
- [3]. Pálfi Z.: Villamos hajtások
Műszaki Könyvkiadó, Budapest, 1978
- [4]. Danku A. - Farkas A. - Nagy L.: Villamos gépek példatár
Műszaki Könyvkiadó, Budapest, 1978
- [5]. Mersichné - Nagy L. - Farkas A. - Peresztegi S.: Különleges villamos gépek
Műszaki Könyvkiadó, Budapest, 1983
- [6]. Retter Gy.: Az egységes villamosgépelmélet
Műszaki Könyvkiadó, Budapest, 1976
- [7]. Halász S.: Villamos hajtások
Havas&Társ, Budapest, 1993
- [8]. Rajki I.: Törpe és automatikai villamos gépek
Műszaki Könyvkiadó, Budapest, 1990
- [9]. Liska J.: Transzformátorok
Tankönyvkiadó, Budapest, 1962
- [10]. Liska J.: Egyenáramú gépek
Tankönyvkiadó, Budapest, 1962
- [11]. Liska J.: Szinkron gépek
Tankönyvkiadó, Budapest, 1963
- [12]. Liska J.: Aszinkron gépek
Tankönyvkiadó, Budapest, 1960
- [13]. Géring T.: Villamos gépek szerkezetana
Műszaki Könyvkiadó, Budapest, 1969
- [14]. Retter Gy.: Villamosenergia-átalakítók (1. kötet)
Műszaki Könyvkiadó, Budapest, 1986
- [15]. Asztalos P. szerk.: Villamosgépek II.
Tankönyvkiadó, Budapest, 1972

- [16]. Istvánfy Gy.: Erősáramú átalakítók mérése
Tankönyvkiadó, Budapest, 1984
- [17]. Moczala H.: Törpe villamos motorok és alkalmazásaik
Műszaki Könyvkiadó, Budapest, 1984
- [18]. Lázár J.: Park-vector theory of line-commutated three-phase bridge converters
OMIKK Publisher, Budapest, 1987
- [19]. Kovács K. P. - Rácz I.: Váltakozóáramú gépek tranziens folyamatai
Akadémia Kiadó, Budapest, 1954
- [20]. Fitzgerald - Kingsley - Kusko.: Electric machinery
McGraw-Hill, Tokyo, 1971
- [21]. Schönfeld R.: Villamos hajtások kézikönyve
Műszaki Könyvkiadó, Budapest, 1977
- [22]. Selmeczi Gy.: Villamos gépek hővédelme
Elektrotechnika, 1987. 6. sz.
- [23]. Budai F.: Motorvédelem termikus túlterhelésrelével
Elektrotechnika, 1994. 10. sz.
- [24]. Nagy P.: Elektronikus motorvédő relék
Elektrotechnika, 1994. 10. sz.
- [25]. Rácz I. - Csörgits F. - Halász S. - Hunyár M. - Schmidt I.: Nyomatékmérő
készülék váltakozóáramú gépek nyomatékának mérésére
Elektrotechnika, 1973. 6. sz.
- [26]. Lamár, K. – Veszprémi, K.: A mikroszámítógépek térnyerése a villamos
hajtások szabályozásában, Proceedings of the International Conference
"Kandó 2002", Budapest, Hungary, p.7. 2002. – ISBN 963 7158 03
- [27]. Mika Sippola: Developments for high frequency power transformer design and
implementation
Helsinki University of Technology Electronics Publication E3 Espoo 2003
- [28] Lamár Krisztián: A világ leggyorsabb mikrovezérlője, Második, bővített
kiadás, ChipCAD Kft., p.102. 2012, ISBN 978-963-08-5166-4
- [29]. Ed Blum: Cost-effective, Low profile Transformer and Inductor Designs.
Magnetic Business & Technology • www.magneticmagazine.com August 2002

TARTALOMJEGYZÉK

	Oldal
ELŐSZÓ	3
A VILLAMOS GÉPEK FEJLŐDÉSÉNEK TÖRTÉNELMI ÁTTEKINTÉSE.....	5
1. A VILLAMOS GÉPEK MŰKÖDÉSI ALAPELVEI	7
1.1. A villamos gépek mint energiaátalakítók. A villamos gépek csoportosítása	7
1.2. A villamos gépek mágneses köre, a mágnesező áram	9
1.3. A villamos gépek indukált feszültsége	11
1.3.1. A transzformátoros indukált feszültség	12
1.3.2. A forgógépek indukált feszültsége	13
1.3.3. Az önindukciós feszültség	16
1.4. Villamos gépek veszteségei	18
1.4.1. Üresjárási veszteségek	18
1.4.2. Terhelési veszteségek	22
1.4.2.1. Az egyenáramú tekercselési veszteség	22
1.4.2.2. A váltakozóáramú tekercselési veszteség (áramkiszorulás) ...	23
1.5. A villamos forgógépek nyomatéka, teljesítményviszonyai	24
1.5.1 Nyomatékok és erőhatások	24
1.5.2 Üzem módok, teljesítményviszonyok	26
1.6. Ellenőrző kérdések	30
2. TRANSZFORMÁTOROK	32
2.1. Működési elv	33
2.1.1. Feszültség- és áramviszonyok	33
2.1.2. Helyettesítő kapcsolási vázlat	34
2.2. Elvi szerkezeti felépítés	38
2.2.1. Tekercselések	39
2.2.2. Vasmagok	42
2.3. Üresjárási üzemi állapot	45
2.3.1. A transzformátor mágnesező árama	46
2.3.2. A vasveszteség	48
2.3.3. A transzformátor üresjárási árama	51
2.3.4. Üresjárási jelleggörbék	53
2.4. Rövidzárási üzemi állapot	55
2.4.1. Névleges rövidzárási feszültség, a drop	55
2.4.2. A transzformátor szórési reaktanciája	56
2.4.3. A tekercsveszteség	59

2.4.4. Rövidzárási jelleggörbék	61
2.5. Transzformátor üzeme	62
2.5.1. A transzformátor feszültségváltozása	62
2.5.2. Egyenlőtlen terhelés	65
2.5.3. Párhuzamos üzem	71
2.5.4. Transzformátor hatásfoka	75
2.6. Átmeneti jelenségek	78
2.6.1. Bekapcsolási áramlökés	78
2.6.2. Hirtelen rövidzárlat	79
2.7. Különleges transzformátorok	80
2.7.1. Takarékkapcsolású transzformátor	80
2.7.2. Hegesztőtranszformátorok	82
2.7.3. Mérőtranszformátorok	84
2.7.3.1. Áramtávadók	85
2.7.4. Nagyfrekvenciás transzformátorok	88
2.7.4.1. Vasveszteségek	89
2.7.4.2. Tekercselési veszteségek	90
2.7.4.3. Hőmérsékletemelkedés	91
2.7.4.4. Planár transzformátorok	92
2.8. Fojtótekercsek	95
2.8.1. Légmagos fojtótekercsek	96
2.8.2. Vasmagos fojtótekercsek	97
2.9. Transzformátor számpéldák	99
2.10. Ellenőrző kérdések	112
3. SZINKRON GÉPEK	114
3.1. Működési elv	114
3.1.1. Az indukált feszültség	115
3.1.2. Az armatúra mágneses tere	120
3.1.3. A terhelési szög fogalma	123
3.2. Szerkezeti felépítés	125
3.2.1. Forgórész	126
3.2.2. Állórész	130
3.2.3. Csapágyazás	132
3.2.4. Hűtés	133
3.3. Állandósult üzemállapotok	133
3.3.1. Helyettesítő vázlat	134
3.3.2. Vektorábrák	136
3.3.3. A szinkron gépek nyomatéka	142
3.3.3.1. Hengeres forgórészű gépek	142
3.3.3.2. Kiálló pólusú gépek	145

3.4. Szinkron gépek jelleggörbéi	148
3.4.1. Üresjárási jelleggörbe	148
3.4.2. Rövidzárási jelleggörbe	149
3.4.3. A szinkron reaktancia meghatározása	151
3.4.4. Terhelési jelleggörbék	152
3.4.5. Szabályozási jelleggörbék	153
3.4.6. Hálózatra kapcsolt gép jelleggörbéi	154
3.5. Átmeneti üzemállapotok	156
3.5.1. A szinkron gép indítása	156
3.5.2. A szinkron generátorok rövidzárata	159
3.5.2.1. A fluxusállandóság elve	159
3.5.2.2. A zárlatot követő tranzienst folyamatok	163
3.5.2.3. Aszimmetrikus zárlatok	167
3.5.3. A szinkron gép lengései	168
3.6. Különleges szinkron gépek	171
3.6.1. Körmöspólusú generátor	171
3.6.2. Kefenélküli, forgódiodás szinkrongenerátor.....	172
3.6.3. Reluktancia motor	173
3.6.4. Léptetőmotorok	175
3.7. Szinkron gép számpéldák	178
3.8. Ellenőrző kérdések	195
4. ASZINKRON GÉPEK	198
4.1. Aszinkron gépek elvi szerkezeti vázlata és működési elve	198
4.2. Az aszinkron gép helyettesítő vázlata, vektorábrák	203
4.3. Az aszinkron gép teljesítményei és veszteségei	210
4.4. Az aszinkron gép nyomatéka	212
4.4.1. Felharmonikus nyomatékok	215
4.5. Az aszinkron gép áram-munkadiagramja	217
4.5.1. Az aszinkron gép kördiagramjának szerkesztése mérési adatokból	219
4.5.2. A szlipskála szerkesztése	222
4.5.3. Az áram-munkadiagram kiértékelése	223
4.6. Áramkiszorításos forgórészű motorok	225
4.7. Aszinkron motorok indítási és fékezési módszerei	229
4.7.1. Aszinkron motorok indítása	229
4.7.1.1. Rövidrezárt forgórészű motorok indítása	229
4.7.1.2. Csúszógyűrűs aszinkron motorok indítása	234
4.7.2. Aszinkron motorok fékezési módszerei	237
4.7.2.1. Generátorüzemi, visszatápláló fékezés	238
4.7.2.2. Ellenáramú fékezés	238
4.7.2.3. Dinamikus fékezés	239
4.7.3. Indítási és fékezési veszteségek	241

4.8. Az aszinkron motorok fordulatszám változtatása	244
4.8.1. A szlip változtatása	244
4.8.2. Póluspárszám-változtatás	248
4.8.3. A primer frekvencia változtatása	249
4.9. Aszinkron motorok egyszerűsített hatásvázlata	252
4.10. Áramirányítós aszinkron motoros hajtások üzemviszonyai	254
4.10.1. Aszinkron motor forgórész körüli áramirányítós beavatkozással 254	
4.10.2. Aszinkron motor állórész körüli áramirányítós beavatkozással 255	
4.11. Különleges aszinkron gépek	257
4.11.1. Egyfázisú aszinkron motorok	257
4.11.2. Indukciós szabályozók	260
4.11.2.1. Egyfázisú indukciós szabályozók	260
4.11.2.2. Háromfázisú indukciós szabályozók	261
4.11.3. Lineáris motorok	263
4.11.4. Aszinkron generátorok	266
4.12. Energiatakarékos motorok	267
4.13. Aszinkron gép számpéldák	272
4.14. Ellenőrző kérdések	281
5. EGYENÁRAMÚ GÉPEK	284
5.1. Az egyenáramú gép működési elve és elvi szerkezeti felépítése	284
5.2. Kommutátoros tekercselések alapfogalmai	290
5.2.1. Egyenáramú gépek hurkos armatúra tekercselése	293
5.2.2. Egyenáramú gépek hullámos armatúra tekercselése	294
5.3. Az egyenáramú gép indukált feszültsége és nyomatéka	296
5.3.1. Az egyenáramú gépek indukált feszültsége	297
5.3.2. Az egyenáramú gépek nyomatéka	298
5.4. Az egyenáramú gép helyettesítő kapcsolási vázlata állandósult üzemben	298
5.5. Az armatúra-visszahatás, a szeletfeszültség és a kompenzálás	300
5.5.1. Az armatúra-visszahatás	300
5.5.2. A szeletfeszültség	303
5.5.3. A kompenzálás	305
5.6. A kommutáció és a segédpólus szerepei	306
5.6.1. A reaktancia feszültség	307
5.6.2. A segédpólus feladatai	309
5.6.3. A kommutáció ellenőrzése	313
5.7. Az egyenáramú gép mágneses köre, az üresjárási és belső terhelési jelleg- görbe	315
5.7.1. Az egyenáramú gép mágneses köre	315
5.7.2. Az egyenáramú gép üresjárási- és belső terhelési jelleggörbéje	320
5.8. Az egyenáramú gépek gerjesztési módjai	322

5.9. Az egyenáramú generátorok jelleggörbéi	324
5.9.1. A külsőgerjesztésű generátor	324
5.9.2. A párhuzamos gerjesztésű generátor	326
5.9.3. A vegyes gerjesztésű generátor	328
5.10. Az egyenáramú motorok jelleggörbéi	329
5.10.1. A külsőgerjesztésű és mellékáramkörű motorok terhelési jelleggörbéi	329
5.10.2. A sorosgerjesztésű motorok terhelési jelleggörbéi	330
5.10.3. Vegyesgerjesztésű motorok jelleggörbéi	332
5.11. Állandó feszültségről táplált egyenáramú motorok üzeme	333
5.11.1. Relatív egységek	333
5.11.2. Állandó feszültségről táplált egyenáramú motorok indítása	335
5.11.2.1. Állandó fluxusú gépek indítása	335
5.11.1.2. Soros (terheléstől függő fluxusú) motorok indítása	337
5.11.3. Állandó feszültségről táplált egyenáramú motorok fordulatszám változtatása	339
5.11.3.1. Állandó fluxusú motorok fordulatszám változtatása	339
5.11.3.2. Soros (terheléstől függő fluxusú) motorok fordulatszám változtatása	340
5.11.3. Állandó feszültségről táplált egyenáramú motorok fékezése	341
5.12. Változó kapocsfeszültségről táplált egyenáramú motoros hajtások	344
5.12.1. Változó kapocsfeszültségről táplált egyenáramú motorok fordulat- szám változtatása. A Ward-Leonard hajtás	344
5.12.2. Nem sima egyenfeszültségről táplált egyenáramú motorok	347
5.12.3. Egyenáramú motorok terhelhetőségi határai	349
5.12.4. Egyenáramú motoros hajtások hatásvázlata. Egyenáramú gépek idő- állandói	350
5.13. Egyenáramú gépek veszteségei és hatásfoka	353
5.14. Egyenáramú gépek főméretei és felépítése	354
5.15. Különleges egyenáramú gépek	356
5.15.1. Mérleggépek	356
5.15.2. Állandómágneses egyenáramú gépek	357
5.15.3. Egyenáramú szervomotorok	360
5.15.4. Elektronikus kommutációjú egyenáramú gépek	363
5.15.5. Soros kommutátoros (univerzális) motorok	366
5.16. Egyenáramú gép számpéldák	369
5.17. Ellenőrző kérdések	385
6. VILLAMOS GÉPEK ÜZEMELTETÉSE	386
6.1. Villamos hajtások kinetikai kérdései	386
6.1.1. Tehetetlenségi nyomaték	387
6.1.2. Nyomatékok osztályozása	388
6.1.3. Terhelő és tehetetlenségi nyomatékok átszámítása a motor tengelyér...	390

6.1.4. Mozgásegyenlet, stabilitásvizsgálat	394
6.1.5. Szögsebesség-időfüggvények meghatározása átmeneti üzemál- potokban, időállandók	396
6.1.5.1. $M_d = \text{áll.}$	397
6.1.5.2. $M_d(\omega) = \text{lineáris}$	399
6.1.5.3. $M_d(\omega) = \text{tetszőleges}$	402
6.2. Építési alakok, védettség, szigetelési osztályok	402
6.2.1. Villamos forgógépek építési alakjai	403
6.2.2. Villamos forgógépek védettsége	405
6.2.3. Villamos forgógépek szigetelési osztályai	407
6.3. Villamos forgógépek melegedése, hűlése és hűtése	408
6.3.1. Villamos forgógépek melegedése és hűlése	408
6.3.2. Villamos forgógépek hűtése	414
6.4. Villamos motorok üzem típusai, a motorkiválasztás szempontjai	418
6.4.1. Villamos motorok üzem típusai	420
6.4.2. A villamos motorok kiválasztásának szempontjai	425
6.5. Villamos hajtások szabályozásának általános kérdései	430
6.6. Villamos forgógépek hővédelme	436
6.6.1. Közvetett áramérzékelésen alapuló védelmek	438
6.6.1.1. Olvadó biztosítók	438
6.6.1.2. Bimetallos hővédelmi relék	438
6.6.1.3. Elektronikus hőmás modell	439
6.6.2. Közvetlen hőérzékelésű, beépített hőérzékelővel működő hővédelmi rendszerek	439
6.7. Villamos gépek üzemeltetése számpéldák	441
6.8. Ellenőrző kérdések	449
7. VILLAMOS GÉPEK ELMÉLETÉNEK ÚJABB TÁRGYALÁSI MÓDSZEREI	450
7.1. Villamos gépek nyomatéka az energiaszeglét alapján	450
7.1.1. Energiaviszonyok, a nyomatékszámítás alapképletei	450
7.1.2. A frekvenciafeltétel	454
7.2. Park-vektorok	459
7.2.1. Park-vektor alapfogalmak	459
7.2.1.1. A vektor definíciója	459
7.2.1.2. A vetületszabály	460
7.2.1.3. A vektor megjelenítése	461
7.2.1.4. A vonali vektor	461
7.2.1.5. A szimmetrikus összetevők	462
7.2.1.6. A háromfázisú hatásos teljesítmény	464
7.2.1.7. A koordináta-transzformáció	465

7.2.2. Park-vektorok alkalmazása	466
7.2.2.1. Aszinkron és szinkron gépek feszültség és fluxus egyenletei térvektoros alakban	466
7.2.2.2. A fluxusvektor és a nyomaték időfüggvényének mérése	469
7.3. Ellenőrző kérdések	471
JELÖLÉSEK JEGYZÉKE	472
IRODALOMJEGYZÉK	477
TARTALOMJEGYZÉK	479